

FOLOSIREA DEPLASĂRILOR ELASTICE ÎN CALCULUL CADRELOR

de Inginer ALEXANDRU GHEORGHIU
Conferențiar la Politehnica din București

(urmare)

Cadru cu două deschideri, triplu încastrat.

Construcțiunea este de 6 ori static nedeterminată, deci va fi necesară introducerea a 6 articulațiuni, spre a obține sistemul static determinat de bază. Le vom repartiza astfel:

- câte o articulație în rezemările sau nodurile 1, 2, 5 și 6
- două articulații în nodul central, în secțiunile 3 și 4.

Se constată că a rămas în ființă încastrarea din reazemul 7, ea menținând stabilitatea construcțiunii.

Necunoscutele static nedeterminate vor fi: M_1, M_2, \dots, M_6 .

Grupul ecuațiilor de echilibru elastic va avea forma:

$$\text{art. 1} \quad \theta_{11} M_1 + \theta_{12} M_2 + \dots + \theta_{16} M_6 + \theta_{1s} = 0$$

$$\text{art. 2} \quad \theta_{21} M_1 + \theta_{22} M_2 + \dots + \theta_{26} M_6 + \theta_{2s} = 0$$

$$\dots \dots \dots$$

$$\text{art. 6} \quad \theta_{61} M_1 + \theta_{62} M_2 + \dots + \theta_{66} M_6 + \theta_{6s} = 0$$

Diagramele coeficienților de influență (fig. 11) arată că bara 7-4 are suprafață de moment în toate cazurile, afară de m_{x3} , ce corespunde sistemului static determinat solicitat de momentul $M_3 = 1 \text{ tm}$; aci reacțiunile, ce sunt date în extremitățile barelor simplu rezemate 2-3 și 3-5, sunt verticale, astfel că sistemul are stabilitate, chiar dacă încastrarea din 7 nu ar exista.

În ceea ce privește diagramele de momente încovoetoare, date în sistemul static determinat de către solicitările exterioare, se vede că:

— solicitările verticale de pe barele 2-3 și 3-5 dau diagrame de momente numai pe aceste bare, ca grinzi simplu rezemate în 2 resp. 5 și articulate în 3;

— solicitările de pe bara 7-4 dau diagramă de moment numai pe această bară, ca grindă încastrată în 7 și liberă la extremitatea 4;

— solicitările de pe barele 1-2 și 5-6 dau diagrame de moment pe barele respective, considerate ca grinzi articulate în 1 resp. 6 și cu reazeme de reacțiune orizontală în 2 resp. 5; în același timp dau și diagramă de moment în bara 4-7, care asigură stabilitatea construcțiunii.

Pentru claritate s'au pus semne pe toate diagramele, figurând și suprafețe negative.

Ținând seamă de expresiile rotirilor θ_{ii} și θ_{ik} , de diagramele coeficienților de influență și de rezultatele tip de integrare, se obține tabloul de coeficienți ce figurează în sistemul de ecuații.

În prima parte a tabloului se văd coeficienții θ_{ik} , așa cum sunt *culeși* din diagramele coeficienților de influență. Se constată că numai patru din aceștia sunt nuli, ceea ce ar conduce la rezolvarea unui sistem de 6 ecuații cu 6 necunoscute, egal cu gradul de nedeterminare.

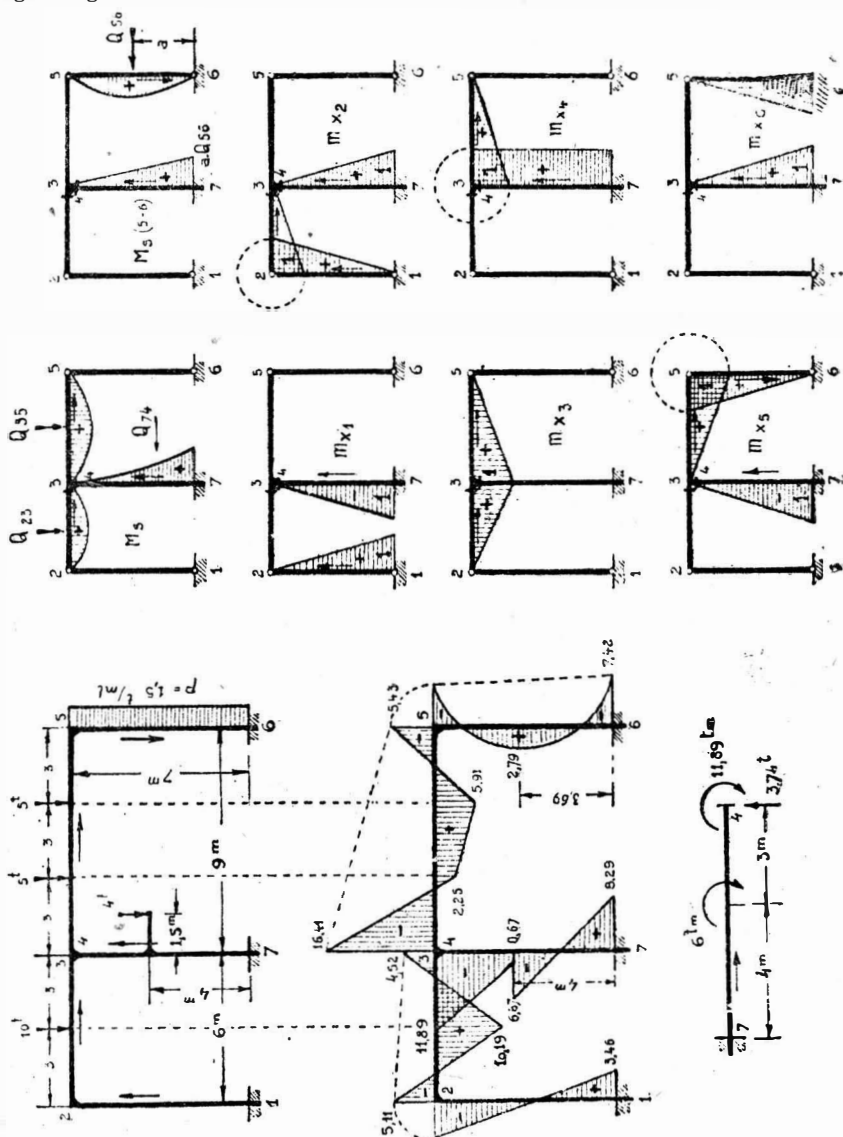


Fig. 11. — Cadru cu două deschideri, triplu încastrat.

Numărul atât de redus de goluri se datorește barei 7-4, ce prezintă suprafață de momente în 5 din cele 6 diagrame m_{xi} , datorită încastrării din 7, care menține nedeformabilitatea statică a construcțiunii.

TABLOU

cuprinzând coeficienții cantităților static nedeterminate

			M_1	M_2	M_3	M_4	M_5	M_6
	Art.	θ_{ik}	θ_{i1}	θ_{i2}	θ_{i3}	θ_{i4}	θ_{i5}	θ_{i6}
I	1	θ_{1k}	$2(\lambda_{12} + \lambda_{74})$	$\lambda_{12} - 2\lambda_{74}$	—	$-3\lambda_{74}$	$2\lambda_{74}$	$-2\lambda_{74}$
	2	θ_{2k}	$\lambda_{12} - 2\lambda_{74}$	$2(\lambda_{12} + \lambda_{23} + \lambda_{74})$	λ_{23}	$3\lambda_{74}$	$-2\lambda_{74}$	$2\lambda_{74}$
	3	θ_{3k}	—	λ_{23}	$2(\lambda_{23} + \lambda_{35})$	$2\lambda_{35}$	λ_{35}	—
	4	θ_{4k}	$-3\lambda_{74}$	$3\lambda_{74}$	$2\lambda_{35}$	$2(\lambda_{35} + 3\lambda_{74})$	$\lambda_{35} - 3\lambda_{74}$	$3\lambda_{74}$
	5	θ_{5k}	$2\lambda_{74}$	$-2\lambda_{74}$	λ_{35}	$\lambda_{35} - 3\lambda_{74}$	$2(\lambda_{35} + \lambda_{56} + \lambda_{74})$	$-2\lambda_{74} + \lambda_{56}$
	6	θ_{6k}	$-2\lambda_{74}$	$2\lambda_{74}$	—	$3\lambda_{74}$	$-2\lambda_{74} + \lambda_{56}$	$2(\lambda_{74} + \lambda_{56})$
II	$\theta_1 + \theta_2$		$3\lambda_{12}$	$3\lambda_{12} + 2\lambda_{23}$	λ_{23}	—	—	—
	$2(\theta_2 - \theta_4) - \theta_1$		—	$3\lambda_{12} + 4\lambda_{23}$	$2(\lambda_{23} - 2\lambda_{35})$	$-(4\lambda_{35} + 3\lambda_{74})$	$-2\lambda_{35}$	—
	θ_3		—	λ_{23}	$2(\lambda_{23} + \lambda_{35})$	$2\lambda_{35}$	λ_{35}	—
	θ_4		$-3\lambda_{74}$	$3\lambda_{74}$	$2\lambda_{35}$	$2(\lambda_{35} + 3\lambda_{74})$	$\lambda_{35} - 3\lambda_{74}$	$3\lambda_{74}$
	$2(\theta_4 + \theta_5) - \theta_6$		—	—	$6\lambda_{35}$	$3(2\lambda_{35} + \lambda_{74})$	$3(2\lambda_{35} + \lambda_{56})$	—
	$\theta_5 + \theta_6$		—	—	λ_{35}	λ_{35}	$2\lambda_{35} + 3\lambda_{56}$	$3\lambda_{56}$

Observând însă că, pentru aceiași necunoscută, coeficienții din diferitele ecuații sunt uneori de formă asemănătoare, există posibilitatea de a constitui un nou sistem de ecuații, prin combinarea convenabilă a ecuațiilor inițiale. În partea a doua a tabloului s'a dat noul sistem, putându-se vedea în prima coloană indicarea combinațiilor făcute. De data aceasta sunt nuli un număr de 12 coeficienți, ceea ce reprezintă un avantaj sensibil pentru rezolvare.

Simplificarea aceasta este posibilă deoarece din diagramele coeficienților de influență se constată că, pentru bara 7-4, suprafața de momente e aceeași în 4 din 6 cazuri, diferind numai ca semn, ceea ce duce la apariția a numeroși coeficienți asemănători, ce se pot simplifica sau elimina prin combinarea ecuațiilor.

Compararea celor două părți ale tabloului arată că, în primul caz, λ_{74} este prezent în aproape toți coeficienții (în mulți din ei figurând chiar singur), pe când în cazul al doilea λ_{74} nu mai apare decât în două locuri (în ecuațiile combinate) la necunoscuta M_4 , aceasta deoarece m_{x4} are pe bara 7-4 o suprafață de momente diferită.

Anularea unora din coeficienți, prin acest procedeu, capătă o semnificație foarte simplă de îndată ce se privesc diagramele m_{xi} . Să ne explicăm pe un exemplu:

Prima ecuație din partea a doua a tabloului, s'a obținut din sumarea ecuațiilor inițiale 1 și 2, semnificând fiecare că suma tuturor rotirilor din articulațiile 1 resp. 2, sub acțiunea solicitărilor (sarcini exterioare și cantități static nedeterminate), este egală cu zero; deci și suma lor va fi egală cu zero.

În această ecuație s'au anulat coeficienții necunoscutelor M_4 , M_5 și M_6 . Considerând pe M_4 , observăm că în ecuațiile inițiale coeficienții respectivi erau θ_{14} și θ_{24} , devenind în noua ecuație $\theta_{14} + \theta_{24} = 0$. Aceasta înseamnă că, dacă asupra sistemului static determinat acționează momentul—unitate în articulația 4, rotirile din articulațiile 1 și 2 sunt egale și de sens contrar. Mai mult încă, ținând seamă de reciprocitatea deplasărilor, avem $\theta_{14} = \theta_{41}$; $\theta_{24} = \theta_{42}$ și $\theta_{41} + \theta_{42} = 0$, ceea ce înseamnă că aplicând concomitent momente egale cu unitatea în articulațiile 1 și 2 ale sistemului static determinat, *rotirea produsă în articulația 4 e nulă*.

Dar aceste constatări se pot face direct pe diagrame; rotirile $\theta_{41} = \theta_{14}$ și $\theta_{42} = \theta_{24}$ rezultă din multiplicarea coeficienților de influență m_{x1} cu m_{x1} resp. m_{x2} cu m_{x4} . În ambele cazuri, nu există suprafețe de moment comune decât pe bara 7-4, aceste suprafețe fiind egale și de sens contrar pentru coeficienții m_{x1} și m_{x2} , deci evident vom avea $\theta_{41} + \theta_{42} = 0$. În mod analog, considerând pe M_5 sau M_6 și făcând același raționament, se vede că putem obține direct de pe diagrame anularea coeficienților $\theta_{51} + \theta_{52} = 0$ și $\theta_{61} + \theta_{62} = 0$.

Constatăm deci că inspectarea diagramelor poate arăta foarte repede modul cum trebuiesc făcute combinațiile de ecuații, spre a avea cât mai mulți termeni nuli, fiind posibil în multe cazuri de a scrie direct sistemul simplificat de ecuații, fără a mai fi nevoie de constituirea coeficienților din prima parte a tabloului.

Posibilitățile de simplificare a chestiunii, prin combinarea ecuațiilor, nu constituiesc un caz accidental al problemei de față, ci o caracteristică generală pentru toate construcțiile unde, la stabilirea sistemului static determinat de bază, rămân încăstrări nesuprimate, în rezemări sau între bare.

Bine înțeles că, atunci când formăm sistemul simplificat de ecuații, termenii liberi se vor obține făcând aceleași combinații, ca și la obținerea coeficienților necunoscutelor.

Privind structura ecuațiilor, indicată în partea a doua a tabloului, se constată că rezolvarea e mult ușurată: prima ecuație poate da pe M_1 în funcție de M_2 și M_3 ; de asemenea ultimele două ecuații dau pe M_5 și M_6 în funcție de M_3 și M_4 . Ducând valorile găsite în celelalte trei ecuații, vom obține în definitiv un sistem de 3 ecuații cu 3 necunoscute; la aceasta se reduce de fapt rezolvarea construcției considerate, care e de 6 ori static nedeterminată.

Pentru fixarea ideilor, să trecem la aplicația numerică arătată în fig. 11.

Admitem inițial:

$$n_{12} = n_{74} = n_{56} = 2; \quad n_{23} = 1,5 \text{ și } n_{35} = 1 \quad \text{deci:}$$

$$\lambda_{12} = \lambda_{74} = \lambda_{56} = 2,7 = 14 \text{ m}; \quad \lambda_{23} = 1,5 \cdot 6 = 9 \text{ m}; \quad \lambda_{35} = 1 \cdot 9 = 9 \text{ m}$$

astfel că se pot calcula imediat toți coeficienții necunoscutelor.

Să formăm termenii liberi. Ținând seama de expresia rotirilor θ_{is} , de diagramele M_s și m_{xi} , cât și de rezultatele tip de integrare, se obține:

$$\begin{aligned}\theta_{1s} &= -R_{7(7-4)} - 2 \text{ a. } Q_{56} \lambda_{74} &= -822 \\ \theta_{2s} &= R_{2(2-3)} + R_{7(7-4)} + 2 \text{ a. } Q_{56} \lambda_{74} &= +1024 \\ \theta_{3s} &= R_{3(2-3)} + R_{3(3-5)} &= +472 \\ \theta_{4s} &= R_{3(3-5)} + F_{74} + 3 \text{ a. } Q_{56} \lambda_{74} &= +1788 \\ \theta_{5s} &= R_{5(3-5)} - R_{7(7-4)} + R_{5(5-6)} - 2 \text{ a. } Q_{56} \lambda_{74} &= -295 \\ \theta_{6s} &= R_{7(7-4)} + R_{5(5-6)} + 2 \text{ a. } Q_{56} \lambda_{74} &= +1079\end{aligned}$$

deoarece, pe baza formulelor dela pag. 260 avem:

$$\begin{aligned}R_{2(2-3)} &= R_{3(2-3)} = 6n_{23} \cdot S_{32} / l_{23} = 6 \cdot 1,5 \cdot 10,6^2 / 16 = 202 \text{ tm}^2 \\ R_{3(3-5)} &= R_{5(3-5)} = 6n_{35} \cdot S_{53} / l_{35} = 6 \cdot 1,5 \cdot 9^2 / 9 = 270 \text{ tm}^2 \\ R_{7(7-4)} &= 6n_{74} \cdot S_{47} / l_{74} = -6,2 \frac{4,1 \cdot 5}{2,7} \cdot 4(7+3) = -206 \text{ tm}^2 \\ R_{5(5-6)} &= R_{6(5-6)} = 6n_{56} \cdot S_{65} / l_{56} = 6 \cdot 2,1 \cdot 5 \cdot 7^2 / 24 = 257 \text{ tm}^2\end{aligned}$$

și

$$F_{74} = -4,1 \cdot 5 \cdot 4 = -24 \text{ tm}^2 ; \text{ a. } Q_{56} \lambda_{74} = 3,5 \cdot 1,5 \cdot 7 \cdot 14 = 514 \text{ tm}^2.$$

Termenii liberi, corespunzători ecuațiilor din partea a doua a tabloului, vor fi:

$$\begin{aligned}\theta_{1s} + \theta_{2s} &= 202; & \theta_{4s} &= 1788 \\ 2(\theta_{2s} - \theta_{4s}) - \theta_{1s} &= -706; & 2(\theta_{4s} + \theta_{6s}) - \theta_{6s} &= 1907 \\ \theta_{3s} &= 472; & \theta_{5s} + \theta_{6s} &= 784\end{aligned}$$

Acum putem trece la rezolvarea ecuațiilor.

Prima ecuație este, introducând valorile λ_{ik} :

$$\begin{aligned}42 M_1 + 60 M_2 + 9 M_3 + 202 &= 0 \quad \text{de unde:} \\ 42 M_1 &= -60 M_2 - 9 M_3 - 202.\end{aligned}$$

Ultimile două ecuații sunt:

$$\begin{aligned}54 M_3 + 96 M_4 + 96 M_5 &+ 1907 = 0 \\ 9 M_3 + 9 M_4 + 60 M_5 + 42 M_6 &+ 784 = 0.\end{aligned}$$

din care obținem:

$$\begin{aligned}M_5 &= -0,563 M_3 - M_4 - 19,86 \\ 42 M_6 &= 24,8 M_3 + 51 M_4 + 407\end{aligned}$$

celelalte trei ecuații sunt:

$$\begin{aligned}78 M_2 - 18 M_3 - 78 M_4 - 18 M_5 - 706 &= 0 \\ 9 M_2 + 36 M_3 + 18 M_4 + 9 M_5 + 472 &= 0 \\ -42 M_1 + 42 M_2 + 18 M_3 + 102 M_4 - 33 M_5 + 42 M_6 + 1788 &= 0.\end{aligned}$$

Introducând expresiile găsite pentru M_1 , M_5 și M_6 , se obține sistemul definitiv ce trebuie rezolvat:

$$\begin{aligned}M_2 - 0,10 M_3 - 0,77 M_4 - 4,47 &= 0 \\ M_2 + 3,44 M_3 + M_4 + 32,56 &= 0 \\ M_2 + 0,69 M_3 + 1,82 M_4 + 29,92 &= 0\end{aligned}$$

care dă valorile:

$$M_2 = -5,11 \text{ tm}; M_3 = -4,52 \text{ tm}; M_4 = -11,89 \text{ tm}.$$

Introducând în expresiile M_1 , M_5 și M_6 se obține:

$$M_1 = +3,46 \text{ tm}; M_5 = -5,43 \text{ tm}; M_6 = -7,42 \text{ tm}.$$

Cunoscând toate cantitățile static nedeterminate, se trasează diagrama definitivă de momente încovoetoare, arătată în fig. 11.

Remarcăm că, pentru bara 7-4, va trebui ținut seamă de modul cum a fost considerată în sistemul static determinat de bază, adică încastrată în 7 și liberă la capătul 4, fiind solicitată așa cum rezultă din diagramele M_s și m_{xi} :

- momentul dat de consolă $M = 4.1,5 = 6$ tm., care produce suprafață negativă pe bara 7-4;
- momentul $M_4 = -11,89$ tm., aplicat la extremitatea 4 a barei 7-4 (diagrama m_{x4});
- acțiunile orizontale din 4, datorite diagramele $M_{s(5-6)}$, m_{x1} , m_{x2} , m_{x5} și m_{x6} .

Acțiunea orizontală rezultantă în 4 este, admitând sens pozitiv acela ce produce momente pozitive în bara 7-4:

$$Q_{56} \cdot a / l_{74} + (M_2 + M_6 - M_1 - M_5) / l_{74} = + 3,74 \text{ tone.}$$

această acțiune exercitându-se în 4 dela dreapta spre stânga.

Solicitările arătate produc în secțiunea 7 un moment $M_7 = + 8,29$ tm, în lungul barei apărând diagrama de momente arătată în fig. 11.

Valoarea momentului M_7 poate fi obținută și direct, din diagramele M_s și m_{xi} , sumând algebric momentele în secțiunea 7 a fiecăreia din acestea (ținând seamă de valorile găsite pentru $M_1, \dots M_6$).

$$M_7 = -6 + a \cdot Q_{56} - M_1 + M_2 + M_4 - M_5 + M_6 = + 8,29 \text{ tm.}$$

Solicitările axiale în bare sunt:

$$N_{12} = 5 + (M_3 - M_2) / l_{23} = 5,10 \text{ tone}$$

$$N_{74} = 5 + 5 + (M_2 - M_3) / l_{23} + (M_5 - M_3 - M_4) / l_{35} = 11,12 \text{ tone}$$

la care se adaugă 8 tone pe partea inferioară a stâlpului.

$$N_{56} = 5 + (M_3 + M_4 - M_5) / l_{35} = 3,78 \text{ tone}$$

$$N_{23} = (M_1 - M_2) / l_{12} = 1,22 \text{ tone compresiune}$$

$$N_{35} = 1,5 \cdot 3,5 + (M_6 - M_5) / l_{56} = 4,96 \text{ tone compresiune}$$

Diferența $N_{35} - N_{23} = 3,74$ t. este echilibrată de bara 7-4, așa cum s'a văzut. Cu aceasta cadrul considerat este complet rezolvat.

Din exemplul tratat se constată că și în cazul cadrelor cu noduri deplasabile, se poate aplica ușor organizarea de calcul bazată pe diagramele m_{xi} și tabloul coeficienților cantităților static nedeterminate, ce se obțin prin citire directă pe aceste diagrame. Operația suplimentară, a combinării ecuațiilor, rezultă din însăși forma suprafețelor de momente m_{xi} , care dau indicații suficiente asupra modului cum pot fi eliminați o parte din coeficienți, putându-se în multe cazuri scrie direct ecuațiile, sub forma cea mai comodă pentru calcul. De sigur e necesară o oarecare atențiune, pentru a găsi combinațiile cele mai favorabile ale ecuațiilor inițiale, fie că aceasta se face direct pe diagrame, fie că se constituie mai întâi primul tablou de coeficienți, operând apoi algebric.

Deci pentru orice fel de cadru, indiferent dacă are nodurile fixe sau deplasabile, diagramele coeficienților de influență permit scrierea imediată a ecuațiilor de echilibru elastic, în număr egal cu acela al cantităților static nedeterminate.

Structura sistemului de ecuații rezultat poate fi totdeauna organizată astfel ca o parte din aceste ecuații, cuprinzând puține necunoscute, să servească la eliminarea unora din cantitățile static nedeterminate din restul sistemului, ajungându-se în toate cazurile la situația de a avea propriu zis de rezolvat un grup de ecuații mult mai mic decât gradul de nedeterminare.

Exemplele tratate au arătat că, în niciunul din cazuri, nu am avut de rezolvat un sistem mai complicat decât de trei ecuații cu trei necunoscute, deși cadrele considerate erau de șase sau șapte ori static nedeterminate, ceea ce reprezintă un avantaj substanțial.

V. POSIBILITĂȚI DE SIMPLIFICARE DIRECTĂ A ECUAȚIILOR LA CADRE CU NODURI DEPLASABILE

Există posibilitatea ca și la cadrele cu noduri deplasabile, să se obțină direct un sistem simplificat de ecuații, tabloul coeficienților prezentând dela început un număr apreciabil de *goluri*, asemănător situației întâlnite la cadrele cu noduri fixe. Acest procedeu este legat însă de *mărirea numărului ecuațiilor*, deși forma lor va fi simplă. Rezolvarea se reduce la un sistem final de ecuații, de asemenea mult mai mic decât gradul de nedeterminare, dar relațiile de legătură între necunoscute vor fi mai numeroase. Procedul este indicat în special la sisteme multiple, evitând complicarea ecuațiilor.

S'a văzut că, la un cadru cu noduri deplasabile, atunci când se introduc articulațiile, în vederea obținerii sistemului static determinat de bază, rămân în mod inevitabil nesuprimate unele încastrări, în rezemări sau între bare, asigurându-se astfel nedeformabilitatea statică. În linie generală, la un cadru etajat este necesară menținerea unei încastrări pentru fiecare etaj; aceste încastrări pot fi plasate oriunde în cuprinsul etajului respectiv, deci fie la baza unui stâlp, fie la punctul de întâlnire a două bare.

S'a văzut de asemenea că — în diagramele coeficienților de influență — barele ce duc la încastrări au aproape în toate cazurile suprafețe de momente, acesta fiind faptul datorită căruia, în tabloul de coeficienți ai necunoscutelor, apar foarte puține goluri, sau nu apar de loc.

Evident că dacă încastrările ar dispărea, diagramele coeficienților de influență s'ar simplifica imediat; va trebui însă să asigurăm în alt mod nedeformabilitatea statică.

Să considerăm stabilitatea asigurată prin încastrarea între două bare, caz ce se poate referi la orice formă de cadru cu noduri deplasabile (menținerea unei încastrări în reazeme neputându-se aplica acolo unde toate rezemările sunt articulații).

Incastrarea păstrată va solidariza cele două bare, astfel că vor forma împreună o grindă cotită; făcând parte din un sistem static determinat, ea va trebui să fie la rândul său static determinată, deci articulată la un capăt și simplu rezemată la celălalt. În general, capătul inferior al

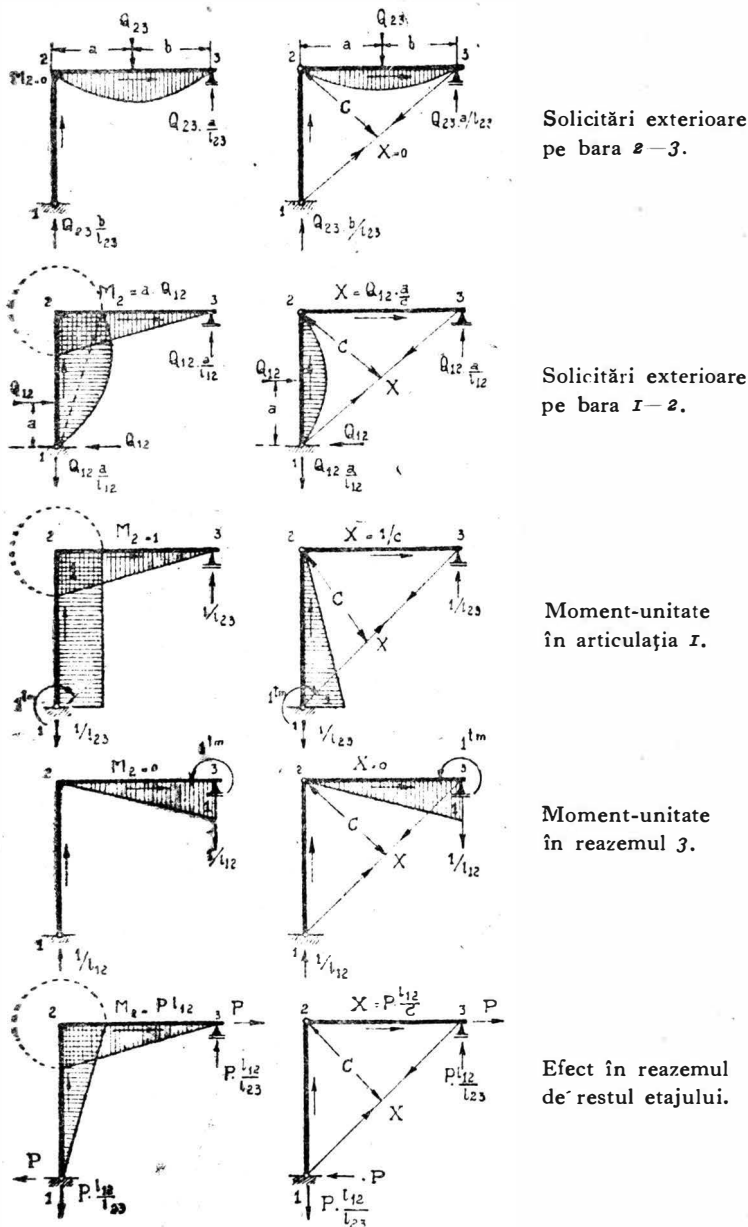


Fig. 12. — Grindă cotită în unghi drept.

piciorului reprezintă articulația, el sprijinind fie în o rezemare, fie în un nod al etajului inferior, care — fiind static nedeformabil — îi asigură fixitatea. Rezemarea la celălalt capăt trebuie considerată reazem simplu, deoarece restul etajului nu poate lua reacțiuni orizontale, tocmai grinda cotită asigurând stabilitatea.

Considerând mai întâi o grindă cotită în unghi drept, pentru diferite cazuri de încărcări, vor apare diagramele de momente arătate în figura 12, prima coloană. În afară de solicitările aplicate direct, este de remarcat cazul ultim, care reprezintă efectul (în un sens sau altul) ce-l resimte grinda cotită dela solicitările de pe restul etajului, de fiecare dată căpătând diagramă de momente pe ambele bare. În nodul 2 apar momentele M_2 , care reprezintă efectul de nedeformabilitate al unghiului barelor 1—2 și 2—3.

Să admitem acum o articulație în 2; spre a menține starea de static determinare, e necesar să introducem o altă legătură, de exemplu: o bară care să lege capetele 1 și 3, fiind considerată articulată în aceste puncte cu barele 1—2 și 2—3. Sub acțiunea diferitelor solicitări, vor apare alte diagrame de momente în cele două bare, în același timp dezvoltându-se eforturi axiale X în bara 1—3, așa cum se poate vedea în fig. 12, coloana 2-a. Diagramele de momente sunt mult mai simple; se constată în special că, în ultimul caz, care reprezintă efectul ce-l resimte construcția 1—2—3 dela solicitările de pe restul etajului, nu apar diagrame de momente.

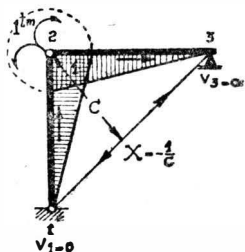


Fig. 13.

Rezultă că, dacă vom considera sistemul static determinat al întregului etaj, cu articulație în nodul 2 și cu bara suplimentară 1—3, toate diagramele de momente vor rezulta mult mai simple, având mai puține bare cu suprafețe de moment; bineînțeles va trebui ținut seamă și de solicitările axiale din bara 1—3, singurele care se dezvoltă acolo, deci neputând fi neglijate.

Să aplicăm un moment pozitiv, egal cu unitatea, pe cele două fețe ale secțiunii din articulația 2 (fig. 13). Se vede imediat că în bara 1—3 va apare o compresiune $X = 1/c$; dacă momentul aplicat este M_2 , compresiunea va fi $X = M_2/c$.

Considerăm acum întregul sistem static determinat (cu articulație în 2) și aplicând succesiv încărcările exterioare și cantitățile static nedeterminate, vom obține o serie de diagrame de momente, pentru fiecare din ele apărând în bara 1—3 o solicitare axială, funcțiune de încărcarea respectivă.

Admițând semnul + pentru tensiuni, sub acțiunea tuturor solicitărilor se va dezvolta în bara 1—3 o tensiune totală X , egală cu suma solicitărilor axiale parțiale. În această situație, aplicăm un moment pozitiv M_2 în articulația 2, care produce o compresiune M_2/c în bara 1—3. Valoarea lui M_2 trebuie să fie astfel, încât compresiunea ce se produce să anuleze tensiunea totală existentă, ducând la zero solicitarea axială

a barei suplimentare, aceasta putând fi scoasă din construcțiune, fără nici un inconvenient. Va trebui să avem:

$$(8) \quad M_2 = c \cdot X \quad \text{sau} \quad f = M_2 - c \cdot X = 0$$

această relație stabilind o legătură necesară între valoarea lui M_2 și toate celelalte solicitări (exterioare și cantități static nedeterminate).

În cazul când barele grinzii cotate ar forma un unghi u oarecare între ele, lucrurile se petrec analog.

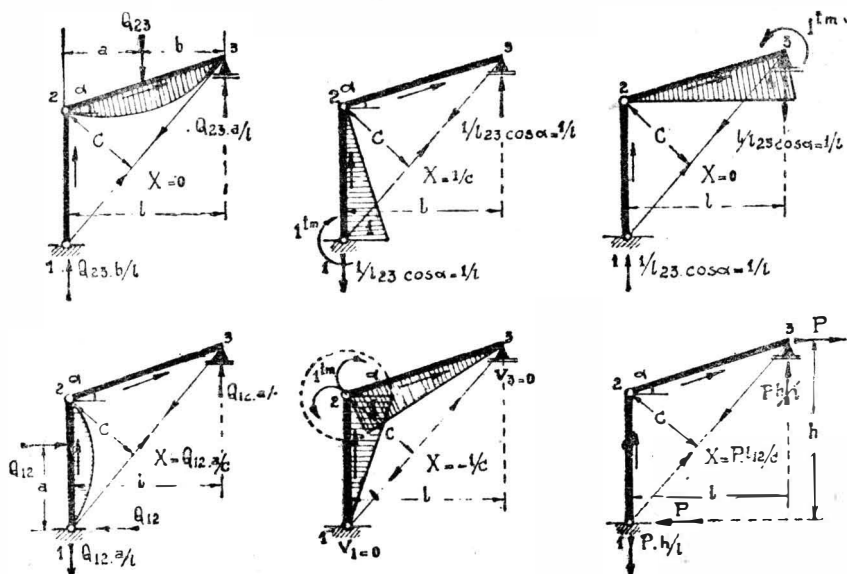


Fig. 14. —Grindă cotică oarecare.

În fig. 14 sunt date diagramele de momente și eforturile axiale din bara suplimentară, pentru diferite solicitări: încărcări exterioare oarecare pe cele două bare, sau momente egale cu unitatea aplicate în secțiunile 1, 2 și 3; ultimul caz se referă la acțiunea orizontală (de un sens sau altul) ce o poate da restul etajului asupra grinzii cotate. Se constată deosebita simplitate a diagramele de momente, cât și a expresiei efortului axial X .

Cu ajutorul celor arătate în fig. 12, 13 și 14, se vor putea schița imediat diagramele corespunzătoare diferitelor forme de cadre, așa cum se va vedea în exemplele tratate.

Să cercetăm acum ce se petrece cu rotirile din diferitele articulații. Considerând iarăși sistemul static determinat (cu articulație în 2), sub acțiunea fiecăreia din solicitări se vor produce în articulații rotiri de forma θ_{is} și $\theta_{ik} \cdot M_k$. În afară de acestea, va mai apare încă un gen de rotiri. În adevăr, bara 1—3 fiind supusă la tensiune, se va lungi, astfel

că cele două fețe ale secțiunii din articulația 2 se vor roti cu θ_{2x} , aceasta deosebit de celelalte rotiri în 2, datorite prezenței de diagrame de momente pe barele cadrului.

Bineînțeles că, în toate celelalte articulații, vor apare rotiri analoage θ_{ix} , dat fiind că lungirea barei 1—3 produce deplasări în tot cadrul, ea fiind aceia care menține stabilitatea construcțiunii. Aceste rotiri sunt și ele foarte mici, fiind mereu vorba de deplasări elastice.

Sub acțiunea solicitărilor exterioare, a cantităților static nedeterminate M_1, M_3, \dots, M_n și a tensiunii din bara 1—3, în o articulație i vom avea o rotire totală:

$$\theta_i = \theta_{i1} \cdot M_1 + \theta_{i3} \cdot M_3 + \dots + \theta_{in} \cdot M_n + \theta_{is} + \theta_{ix}.$$

Introducând acum momentul M_2 în articulația 2, acesta va da rotiri, în toate articulațiile, de forma $\theta_{i2} \cdot M_2$.

Pentru ca acest moment M_2 să reprezinte momentul definitiv din nodul 2 al cadrului, va trebui ca valoarea lui să fie astfel, încât prin rotirile ce produce în articulațiile i , să anuleze rotirile existente θ_i , date de relația de mai sus, restabilind nedeformabilitatea unghiului din 2 al cadrului. Va trebui deci:

$$(9) \quad \theta_{i1} \cdot M_1 + \theta_{i2} \cdot M_2 \dots + \theta_{in} \cdot M_n + \theta_{is} + \theta_{ix} = 0$$

Se obțin astfel un număr de ecuații de forma (9), egal cu numărul articulațiilor introduse, pentru a face sistemul static determinat, plus articulația din 2 suplimentară. Cum operația din nodul 2 putea fi făcută în orice alt nod al cadrului, rezultă că oricare din necunoscutele $M_1 \dots M_n$ poate fi considerată drept cantitatea static nedeterminată suplimentară. Bineînțeles că necunoscutele $M_1 \dots M_n$ nu mai sunt acum toate variabile independente, ele trebuind să satisfacă relația de legătură (8).

Utilizând acest procedeu, se constată că, pentru fiecare din încăstrările ce au rămas în ființă la facerea sistemului static determinat de bază, se adaugă două ecuații: una exprimând rotirea nulă în articulația suplimentară introdusă în acea încastrare, alta arătând că — pentru totalitatea solicitărilor — efortul axial din bara suplimentară, ce servește la menținerea nedeformabilității statice, este nul.

Numărul ecuațiilor crește, în schimb diagramele m_{xi} sunt mult mai simple, astfel că tabloul coeficienților necunoscutelor va prezenta numeroase goluri, ușurând mult rezolvarea.

Mai rămâne să ne ocupăm de evaluarea rotirilor θ_{ix} , ele figurând în sistemul de ecuații.

S'a văzut că, pe baza principiului lucrului mecanic minimal, cantitățile static nedeterminate se desvoltă astfel, încât lucrul mecanic interior — acumulat de construcțiune prin deformare — este minim; derivatele parțiale ale lucrului mecanic, în raport cu fiecare din cantitățile static nedeterminate, vor fi deci nule, toate aceste cantități fiind variabile independente.

În cazul când utilizăm o cantitate static nedeterminată suplimentară, evident că necunoscutele $M_1 \dots M_n$ nu mai sunt variabile independente, ele trebuind să satisfacă o relație de condiție de forma (8).

La scrierea derivatelor parțiale va trebui să se țină seamă de această relație, cu ajutorul unui coeficient nedeterminat.

Vom avea deci:

$$(10) \quad \frac{\partial L}{\partial M_1} + \alpha \frac{\partial f}{\partial M_1} = 0; \dots \dots \frac{\partial L}{\partial M_n} + \alpha \frac{\partial f}{\partial M_n} = 0$$

Pe de altă parte, rotirea în articulația i , datorită *diagramelor de momente încovoetoare* din barele cadrului, va fi:

$$\theta_i = \partial L / \partial M_i = \theta_{i1} M_1 + \theta_{i2} M_2 + \dots + \theta_{in} M_n + \theta_{is}$$

astfel că relația curentă (10) va avea forma:

$$(11) \quad \theta_{i1} M_1 + \theta_{i2} M_2 + \dots + \theta_{in} M_n + \theta_{is} + \alpha \frac{\partial f}{\partial M_i} = 0$$

Comparând această relație cu (9), se obține:

$$\theta_{1X} = \alpha \cdot \partial f / \partial M_1; \quad \theta_{2X} = \alpha \cdot \partial f / \partial M_2; \quad \dots \quad \theta_{iX} = \alpha \cdot \partial f / \partial M_i; \dots$$

deci am găsit expresiile rotirilor de forma θ_{iX} .

Lucrul acesta se poate arăta și altfel:

Considerăm un cadru făcut static determinat, având suprimată încastrarea din 2, ce-i menține stabilitatea, introducând în schimb bara suplimentară 1—3 (fig. 15). Asupra sa acționează încărcările exterioare și cantitățile static nedeterminate, $M_1, M_3 \dots M_n$.

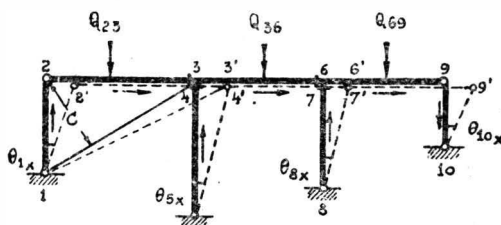


Fig. 15.

Ținând seama de cazurile arătate în fig. 12, de convenția de semne a momentelor și observând că:

— sarcinile verticale de pe barele 2—3—6—9 nu dau solicitări axiale X ;

— momentele aplicate în articulațiile 3 și 6 de asemenea nu dau valori X , ele producând numai reacțiuni verticale;

— momentul pozitiv din 1 dă $X = M_1/c$;

— momentele pozitive din 5, 8 și 9 *trag* de secțiunea 3 cu $M_5/l_{54}, M_8/l_{87}, M_9$ și $/l_{9,10}$;

—momentele pozitive din 4, 7 și 10 *presează* în secțiunea 3 cu M_5/l_{54} , M_8/l_{87} și $M_{10}/l_{9,10}$;
se vede imediat că solicitarea axială X va fi de forma:

$c \cdot X = M_1 + (M_5 - M_4) l_{12}/l_{54} + (M_8 - M_7) l_{12}/l_{87} + (M_9 - M_{10}) l_{12}/l_{9,10}$
sau ținând seamă de condiția $X = M_2/c$:

$$(12) \quad (M_1 - M_2) + (M_5 - M_4) l_{12}/l_{54} + (M_8 - M_7) l_{12}/l_{87} + (M_9 - M_{10}) l_{12}/l_{9,10} = 0$$

care este relația de condiție ce leagă necunoscutele.

Rotirile ce se produc în diferitele articulații — atunci când bara 1—3 se lungește — sunt, considerând $\theta_1 = 1$ și observând că toate nodurile se deplasează pe orizontală cu aceeași cantitate:

$$\theta_1 = -\theta_2 = 1; \quad \theta_5 = -\theta_4 = l_{12}/l_{54}; \quad \theta_8 = -\theta_7 = l_{12}/l_{87} \\ \text{și} \quad \theta_9 = -\theta_{10} = l_{12}/l_{9,10}$$

așa cum e ușor vizibil în fig. 15.

Se constată că aceste rotiri sunt tocmai derivatele parțiale ale relației $f = 0$ (12), în raport cu necunoscutele articulațiilor considerate.

Dat fiind că lungirea barei 1—3 va da de fapt în 1 o rotire oarecare $\theta_1 \neq 1$, rezultă că rotirile din diferitele articulații vor fi proporționale, cu valorile găsite, putând scrie:

$$\theta_{1X} = \alpha \cdot \partial f / \partial M_1, \dots, \theta_{iX} = \alpha \cdot \partial f / \partial M_i, \dots, \theta_{nX} = \alpha \cdot \partial f / \partial M_n$$

factorul de proporționalitate α urmând să rezulte din echilibrarea momentelor M_1, M_2, \dots, M_n și a încărcărilor exterioare, deci din sistemul de ecuații de echilibru elastic.

Am găsit astfel aceleași expresii pentru rotirile de forma θ_{iX} .

Privind figura 15, se vede imediat că relația (12) se poate obține direct, prin aplicarea lucrului mecanic virtual, dând o rotire $\theta_1 = 1$ barei 1—2 din sistemul static determinat, în care am slăbit încastrarea din 2.

Această observație ne poate scuti de a mai calcula diferitele solicitări axiale din bara suplimentară, pentru obținerea relației de legătură între cantitățile static nedeterminate; este evident că aceste cantități — împreună cu încărcările exterioare — trebuind să reprezinte un sistem în echilibru, vor satisface ecuația lucrului mecanic virtual. Se va ține seamă, cu această ocazie, de convenția de semne admisă pentru momentele de pe diferitele bare.

* * *

Să ne ocupăm de coeficientul nedeterminat α .

Privind relația de legătură (12), $f=0$, se vede imediat că derivatele parțiale ale acesteia, în raport cu diferitele momente, sunt rapoarte geometrice rezultând din schema cadrului, reprezentând factori de propagare ai rotirilor în diferitele articulații, față de rotirea $\theta_1 = 1$ dată

în articulația 1, prin aplicarea lucrului mecanic virtual. Pentru lungirea ce capătă bara 1—3 sub acțiunea solicitărilor axiale, rotirile produse în diferite articulații sunt proporționale cu precedentele; rezultă că diferiții termeni $\propto \partial f / \partial M_i$ sunt *rotiri*, ceea ce reiese de altfel și din omogenitatea sistemului de ecuații. Derivatele parțiale fiind în toate cazurile relații geometrice fără dimensiuni, rezultă că α este o *rotire* și anume aceea pe care o capătă bara 1—2 sub acțiunea lungirii barei suplimentare 1—3.

Introducerea momentului în articulația suplimentară 2, va avea de efect anularea rotirilor existente între fețele secțiunii din această articulație, producând totodată un efort axial, după direcția barei 1—3, egal și de sens contrar celui existent, făcând inutilă această bară, deci restabilind situația inițială. Prin această operație, diferitele articulații *rămân pe loc*, efectul momentului M_2 anulând toate rotirile existente între fețele secțiunilor din articulații, ajungându-se la starea deformată finală a cadrului.

Rezultă deci că α este *rotirea liniei nodurilor 1 și 2 în poziția deformată a construcțiunii*; rotirile liniilor nodurilor celorlalte picioare ale cadrului, se obțin din aceasta, prin aplicarea factorilor de propagare ce figurează în relația de legătură.

Dacă se ține seamă că sistemul de ecuații este multiplicat cu $6EI$, rezultă că de fapt rotirea α este de forma $\alpha/6EI$, obținându-se astfel valoarea ei numerică.

Bineînțeles că, dacă am avea un cadru etajat, fiecărui etaj îi va corespunde câte un coeficient nedeterminat α_i , ceea ce înseamnă că din rezolvarea sistemului de ecuații și a relațiilor de legătură, odată cu aflarea cantităților static nedeterminate ce ne interesează, am obținut și *deformațiile orizontale ale cadrului*, care se deduc din rotirile $\alpha_i/6EI$.

De sigur că determinarea valorii acestor deplasări nu prezintă — din punct de vedere practic — un interes prea accentuat; faptul însă că ele apar și influențează calculul cantităților iperstatice, sub forma coeficienților nedeterminați, ne permite a face o observațiune foarte importantă.

Mărimea deplasărilor orizontale depinde de încărcările exterioare ce acționează asupra cadrului; de sigur că încărcările orizontale vor avea mult mai accentuat efect, decât cele verticale, în producerea de asemenea deplasări.

Pentru cazul unor încărcări verticale, prezentând oarecare simetrie în raport cu cadrul, e natural ca aceste deplasări orizontale să fie foarte reduse, putându-se deci practic neglija. Este vorba de o aproximație, asupra întinderii căreia e recomandabil a se da toată atențiunea.

În asemenea cazuri, *se admite a priori* că deplasările orizontale sunt nule, deci ar fi vorba de un cadru cu noduri fixe.

Oricare ar fi metoda utilizată în calcul, două întrebări se pot pune cu această ocazie:

— ce simplificări se pot aduce în efectuarea calculelor, pentru ca această aproximație să reprezinte efectiv un avantaj;

— care ar fi modalitatea ca, atunci când se efectuează calculul complet al cadrului cu noduri deplasabile, să se obțină în paralel și valorile momentelor pentru ipoteza aproximativă a nodurilor fixe, putându-se astfel examina comparativ valorile, trăgându-se concluziuni asupra admisibilității acestui gen de aproximare și căpătându-se, prin aceasta, experiență în vederea altor calcule.

Linia de calcul ce am urmărit permite să se răspundă la aceste două aspecte cu multă ușurință.

A admite că nodurile sunt fixe, înseamnă a admite că bara 1—3 este *indeformabilă*, deci că *nu vor apare rotații* în diferitele articulații, datorită solicitărilor axiale din această bară, sub acțiunea cantităților **static** nedeterminate și a încărcărilor exterioare.

Introducerea necunoscutei suplimentare M_2 , în articulația 2, va trebui să anuleze în toate articulațiile numai rotațiile obținute din utilizarea diagramelor coeficienților de influență și a suprafețelor de momente date de încărcările exterioare, astfel că rotațiile α_i — coeficienții nedeterminați — sunt nule.

Totodată, nodurile fiind presupuse fixe, nici o deplasare virtuală nu e posibilă, astfel că relațiile de condiție dispar.

Ajungem la concluzia că, pentru calculul aproximativ cerut de ipoteza nodurilor fixe, vom proceda exact ca în cazul nodurilor deplasabile, cu considerarea necunoscutelor suplimentare — câte una de etaj — și introducerea barelor *indeformabile* pentru menținerea stabilității cadrului, ceea ce va păstra considerabila simplificare a diagramelor coeficienților de influență. Nu vom mai calcula diferitele solicitări axiale în barele suplimentare, deoarece relațiile de legătură dispar din calcul.

De asemenea dispar termenii ultimi ai ecuațiilor, de forma $\alpha_i \cdot \partial f / \partial M_i$.

În modul acesta calculul se simplifică sensibil.

Să trecem la al doilea aspect.

În cazul general de calcul, deci al cadrelor cu noduri deplasabile, sistemul de ecuații are forma:

$$\theta_{1s} + \theta_{11} M_1 + \theta_{12} M_2 + \dots + \theta_{1n} M_n + \alpha_1 \cdot \partial f_1 / \partial M_1 + \alpha_2 \cdot \partial f_2 / \partial M_1 + \dots = 0$$

$$\dots \dots \dots$$

$$\theta_{ms} + \theta_{m1} M_1 + \theta_{m2} M_2 + \dots + \theta_{mn} M_n + \alpha_1 \cdot \partial f_1 / \partial M_n + \alpha_2 \cdot \partial f_2 / \partial M_n + \dots = 0$$

plus relațiile de legătură: $f_1 = 0, f_2 = 0 \dots$

Faptul că diagramele coeficienților de influență au forme foarte simple, face ca în tabloul coeficienților θ_{ik} ai momentelor necunoscute, să fie foarte numeroase geluri, ceea ce permite rezolvarea ușoară, prin gruparea ecuațiilor și eliminarea progresivă a necunoscutelor. În toată această operație coeficienții nedeterminați vor fi menținuți *în termenul liber* al ecuației.

Vom ajunge deci să obținem toate momentele necunoscute în funcție de încărcările exterioare și coeficienții nedeterminați, căpătând

relații de forma:

$$M_1 = A_1 + B_1 \alpha_1 + C_1 \alpha_2 + \dots$$

$$M_2 = A_2 + B_2 \alpha_1 + C_2 \alpha_2 + \dots$$

$$\dots \dots \dots$$

$$M_n = A_n + B_n \alpha_1 + C_n \alpha_2 + \dots$$

Ducând aceste expresii în relațiile de legătură, se găsesc valorile coeficienților nedeterminați și deci valorile finale ale tuturor cantităților static nedeterminate.

Se vede că valoarea fiecărei necunoscute se compune din un termen liber, urmat de termeni cuprinzând coeficienții nedeterminați; în cazul considerării aproximației nodurilor fixe, coeficienții $\alpha_1, \alpha_2, \dots$ sunt nuli, deci valorile momentelor se reduc la primul termen. Aceasta înseamnă că, atunci când se calculează un cadru cu noduri deplasabile, *obținem automat* și valorile tuturor momentelor necunoscute, pentru cazul aproximativ al nodurilor fixe, orice examinare comparativă putându-se face imediat.

Mai mult încă, *influența deplasării orizontale a fiecărui etaj figurează în un termen separat*, putându-se deci examina valoarea unor aproximații intermediare, considerând noduri fixe la unele etaje — de exemplu cele ce nu suportă sarcini orizontale — și noduri deplasabile la altele.

Prin noduri fixe la un etaj vom înțelege totdeauna că nodurile aflate pe aceeași verticală înainte de deformație, rămân pe aceeași verticală și după deformație, indiferent dacă tot etajul suferă o deplasare orizontală, provenită dela un etaj inferior.

Avem deci posibilitatea de a face dela început orice ipoteză asupra deformației finale a cadrului, după voință, procedând la un calcul exact sau la unul aproximativ; în cazul calculului exact, se obțin în paralel și elementele necesare, permițând aprecierea valorii diferitelor ipoteze aproximative ce s'ar putea face.

* * *

Introducerea necunoscutelor suplimentare, la cadrele cu noduri deplasabile, dă organizării de calcul un aspect caracteristic. În afară de numărul normal de ecuații de echilibru elastic, corespunzător gradului de nedeterminare, *vor apare în plus câte două ecuații* — cu necunoscutele corespunzătoare (momentul din încastrare și coeficientul nedeterminat al relației de legătură) — pentru fiecare din încastrările ce mențin nedeformabilitatea statică a sistemului static determinat.

Dat fiind că aceste încastrări se reduc în general la numai una pentru fiecare etaj al construcțiunii, rezultă că de fapt numărul de ecuații suplimentare va fi *foarte redus*; mai mult încă, importanța acestui număr — în raport cu sistemul normal de ecuații de echilibru elastic — este variabilă, ea depinzând de gradul de nedeterminare al etajului respectiv,

fiind cu atât mai atenuată, cu cât acest grad de nedeterminare este mai ridicat.

Intr'un asemenea caz, creșterea sistemului total — cu două ecuații pentru fiecare etaj — este amplu compensată prin simplificările importante ce apar în structura ecuațiilor.

Rămâne să mai facem o constatare.

Introducerea necunoscutelor suplimentare, după normele ce s'au indicat, apropie în o oarecare măsură linia generală de calcul ce urmărim, de metoda Prof. Gh. Em. Filipescu. Relațiile de legătură (câte una pentru fiecare etaj) găsite prin condiția efortului nul în toate barele suplimentare, sunt analoage cu relațiile (8) din acea metodă.

Pornind dela ideia scrierii sub formă cât mai simplă a ecuațiilor, realizabilă prin introducerea mai multor articulații suplimentare în interiorul cadrului și acceptând consecința inevitabilă a creșterii rapide a numărului de necunoscute și a relațiilor de legătură, Prof. Filipescu aplică articulații în ambele capete ale tuturor barelor cadrului. Aceasta înseamnă că, înafară de suprimarea încastrărilor ce mențin nedeformabilitatea statică a sistemului static determinat, mai introduce câte o articulație suplimentară în fiecare din nodurile unde se întâlnesc mai mult de două bare, deci câte o necunoscută. Aceasta antrenează apariția ecuațiilor de echilibru ale nodurilor — ca relații de legătură — fiecare din ele reflectându-se în sistemul de ecuații prin intermediul câte unui coeficient nedeterminat.

Se vede deci că, pentru fiecare nod în care se întâlnesc mai mult de două bare, e necesară adăugarea a două necunoscute, cu cele două ecuații corespunzătoare.

Remarcăm că, de data aceasta, creșterea numărului de ecuații este în directă legătură cu numărul nodurilor interioare, *deci cu gradul de nedeterminare*, ajungându-se la un număr foarte mare de ecuații.

Eleganța deosebită a *metodei coeficienților nedeterminați* constă în faptul că, fiecare cantitate static nedeterminată dând diagramă de moment numai pe o singură bară, se poate găsi direct valoarea fiecăreia din aceste cantități, în funcție de încărcările exterioare și coeficienții nedeterminați, astfel că în definitiv sistemul de ecuații, ce trebuie rezolvat, este constituit numai de grupul relațiilor de legătură, în număr destul de mare de altfel ¹⁾.

Avantajul organizării de calcul ce propunem, pentru cadrele cu noduri deplasabile, constă în numărul *foarte redus* de ecuații suplimentare; totodată structura sistemului de ecuații de echilibru elastic este în toate cazurile de așa natură, încât permite dela început eliminarea unora din necunoscute, restul rezolvării făcându-se pe grupe de 2—3 ecuații.

În capitolul ce urmează vom aplica acest mod de calcul asupra câtorva exemple, cu grad mijlociu de nedeterminare, spre a se vedea în detaliu evoluția și caracteristicile organizării de calcul.

¹⁾ Gh. Em. Filipescu, Calculul cadrelor. Bul. Soc. Polit. Nr. 2 Febr. 1937.

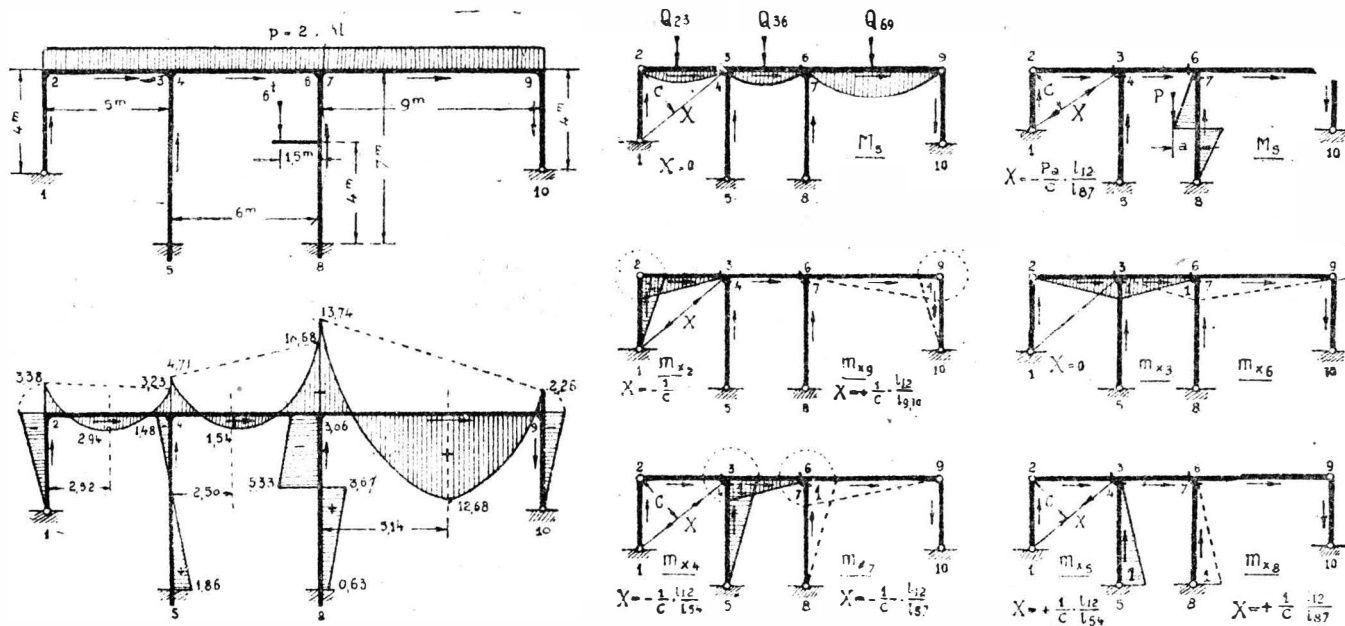


Fig. 16. — Cadru cu trei deschideri.

găsi momentele M_7 și M_9 în funcție de M_8 . Ducând totul în ecuația 6, vom găsi valoarea M_6 , singura necunoscută a ecuației.

S'au obținut astfel toate necunoscutele, în funcție de încărcările exterioare și coeficientul nedeterminat α . Introducând aceste expresii în relația de legătură $f = 0$, se găsește și valoarea acestuia, cu care obținem valorile finale ale tuturor cantităților static nedeterminate.

Trecând la cazul numeric indicat în fig. 16, vom admite pentru $n_{ik} = I / l_{ik}$ următoarele valori:

$$n_{12} = n_{9,10} = 5 ; n_{54} = n_{87} = 4 ; n_{23} = n_{36} = 2 ; n_{69} = 1$$

cu care obținem caracteristicile barelor $\lambda_{ik} = n_{ik} \cdot l_{ik}$:

$$\lambda_{12} = \lambda_{9,10} = 5 \cdot 4 = 20 \text{ m} ; \lambda_{54} = \lambda_{87} = 4 \cdot 7 = 28 \text{ m}$$

$$\lambda_{23} = 2 \cdot 5 = 10 \text{ m} ; \lambda_{36} = 2 \cdot 6 = 12 \text{ m} ; \lambda_{69} = 1 \cdot 9 = 9 \text{ m}.$$

Să formăm termenii liberi θ_{is} , ținând seama de formulele dela pag. 260.

$$R_{2(3-3)} = 6n_{23} \cdot S_{32} / l_{23} = 6 \cdot 2 \cdot 2 \cdot 5^3 / 24 = 125 \text{ tm}^2$$

$$R_{3(1-6)} = 6n_{23} \cdot S_{23} / l_{23} + 6n_{36} \cdot S_{63} / l_{36} = 125 + 216 = 341 \text{ tm}^2$$

$$R_{3(3-6)} = 6n_{36} \cdot S_{63} / l_{36} = 6 \cdot 2 \cdot 2 \cdot 6^3 / 24 = 216 \text{ tm}^2$$

$$R_{6(3-9)} = 6n_{36} \cdot S_{36} / l_{36} + 6n_{69} \cdot S_{96} / l_{69} = 216 + 365 = 581 \text{ tm}^2$$

$$R_{6(6-9)} + R_{7(8-7)} = 6n_{69} \cdot S_{96} / l_{69} + 6n_{87} \cdot S_{87} / l_{87} =$$

$$= 6 \cdot 1 \cdot 2 \cdot 9^3 / 24 - 6 \cdot 4 \cdot 6 \cdot 1,5 (7^2 - 3 \cdot 4^2) / 6 \cdot 7 = 360 \text{ tm}^2$$

$$R_{8(8-7)} = 6n_{87} \cdot S_{78} / l_{87} = 6 \cdot 4 \cdot 6 \cdot 1,5 (7^2 - 3 \cdot 3^2) / 6 \cdot 7 = 113 \text{ tm}^2$$

$$R_{9(6-9)} = 6n_{69} \cdot S_{69} / l_{69} = 6 \cdot 1 \cdot 2 \cdot 9^3 / 24 = 365 \text{ tm}^2.$$

Coeficienții lui α , din ultima coloană a tabloului, sunt:

$$l_{12} / l_{45} = l_{12} / l_{78} = 4 / 7 = 0,57 ; l_{12} / l_{9,10} = 1.$$

Primele patru ecuații sunt, luând 100α în loc de α :

$$60 M_2 + 10 M_3 + 125 - 100\alpha = 0$$

$$10 M_2 + 44 M_3 + 24 M_4 + 12 M_6 + 341 = 0$$

$$24 M_3 + 80 M_4 + 28 M_5 + 12 M_6 + 216 - 57\alpha = 0$$

$$28 M_4 + 56 M_5 + 57\alpha = 0.$$

Prima și ultima dau:

$$M_2 = -0,167 M_3 - 2,083 + 1,667 \alpha$$

$$M_5 = -0,500 M_4 - 1,017 \alpha$$

Celelalte două devin:

$$42,33 M_3 + 24 M_4 + 12 M_6 + 321,17 + 16,67 \alpha = 0$$

$$24 M_3 + 66 M_4 + 12 M_6 + 216 - 85,48 \alpha = 0$$

de unde:

$$M_3 = -0,227 M_6 - 7,221 - 1,421 \alpha$$

$$M_4 = -0,108 M_6 - 0,647 + 1,812 \alpha$$

Ultimile trei ecuații sunt:

$$18 M_6 + 74 M_7 + 28 M_8 + 9 M_9 + 360 - 57 \alpha = 0$$

$$28 M_7 + 56 M_8 + 113 + 57 \alpha = 0$$

$$9 M_6 + 9 M_7 + 58 M_8 + 365 + 100\alpha = 0$$

Din cea de a doua scoatem:

$$M_8 = -0,500 M_7 - 2,018 - 1,017 \alpha.$$

TABLOU

cuprinzând termenii ecuațiilor de echilibru elastic

		M_2	M_3	M_4	M_5	M_6	M_7	M_8	M_9		
Art.	θ_{ik}	θ_{i2}	θ_{i3}	θ_{i4}	θ_{i5}	θ_{i6}	θ_{i7}	θ_{i8}	θ_{i9}	θ_{is}	$\alpha \cdot \delta f / \delta M_i$
2	θ_{2k}	$2(\lambda_{12} + \lambda_{23})$	λ_{23}	—	—	—	—	—	—	$R_{2(2-3)}$	$-\alpha$
3	θ_{3k}	λ_{23}	$2(\lambda_{23} + \lambda_{36})$	$2\lambda_{36}$	—	λ_{36}	—	—	—	$R_{3(2-6)}$	—
4	θ_{4k}	—	$2\lambda_{36}$	$2(\lambda_{54} + \lambda_{36})$	λ_{54}	λ_{36}	—	—	—	$R_{3(3-6)}$	$-\gamma \cdot l_{12} / l_{54}$
5	θ_{5k}	—	—	λ_{54}	$2\lambda_{54}$	—	—	—	—	—	$+\gamma \cdot l_{12} / l_{54}$
6	θ_{6k}	—	λ_{36}	λ_{36}	—	$2(\lambda_{36} + \lambda_{69})$	$2\lambda_{69}$	—	λ_{69}	$R_{6(3-9)}$	—
7	θ_{7k}	—	—	—	—	$2\lambda_{69}$	$2(\lambda_{87} + \lambda_{69})$	λ_{87}	λ_{69}	$R_{6(6-9)} + R_{7(8-7)}$	$-\alpha \cdot l_{12} / l_{87}$
8	θ_{8k}	—	—	—	—	—	λ_{87}	$2\lambda_{87}$	—	$R_{8(3-7)}$	$+\alpha \cdot l_{12} / l_{87}$
9	θ_{9k}	—	—	—	—	λ_{69}	λ_{69}	—	$2(\lambda_{69} + \lambda_{9,10})$	$R_{9(6-9)}$	$+\alpha \cdot l_{12} / l_{9,10}$

Celelalte două devin:

$$18 M_6 + 60 M_7 + 9 M_9 + 303,50 - 85,50 \alpha = 0$$

$$9 M_6 + 9 M_7 + 58 M_9 + 365 + 100 \alpha = 0$$

de unde:

$$M_7 = -0,285 M_6 - 4,211 + 1,725 \alpha$$

$$M_9 = -0,111 M_6 - 5,640 - 1,992 \alpha.$$

Ecuatia articulației 6 este:

$$12 M_3 + 12 M_4 + 42 M_6 + 18 M_7 + 9 M_9 + 581 = 0$$

ducând valorile găsite pentru M_3 , M_4 , M_7 și M_9 se obține:

$$M_6 = -11,303 - 0,559 \alpha$$

Înlocuind această valoare în toate relațiile, se găsește:

$$(14) \quad \begin{aligned} M_2 &= -1,306 + 1,883 \alpha \\ M_3 &= -4,655 - 1,294 \alpha \\ M_4 &= +0,574 + 1,872 \alpha \\ M_5 &= -0,287 - 1,953 \alpha \\ M_6 &= -11,303 - 0,559 \alpha \\ M_7 &= -0,990 + 1,884 \alpha \\ M_8 &= -1,523 - 1,959 \alpha \\ M_9 &= -4,385 - 1,930 \alpha \end{aligned}$$

Aceste expresii se introduc în relația de condiție $f = 0$ (13), găsindu-se valoarea coeficientului nedeterminat: $\alpha = -1,10$, cu ajutorul căruia obținem valorile definitive ale momentelor:

$$\begin{aligned} M_2 &= -3,38 \text{ tm}; & M_3 &= -3,23 \text{ tm}; & M_4 &= -1,48 \text{ tm} \\ M_5 &= +1,86 \text{ tm}; & M_6 &= -10,68 \text{ tm}; & M_7 &= -3,06 \text{ tm} \\ M_8 &= +0,63 \text{ tm}; & M_9 &= -2,26 \text{ tm} \end{aligned}$$

Se poate trasa acum diagrama momentelor încovoetoare din cadru, arătată în fig. 16.

Solicitările axiale din bare (+ compresiuni) sunt:

$$N_{12} = 5 + (M_3 - M_2)/l_{23} = 5,03 \text{ t.}$$

$$N_{45} = 5 + 6 + (M_2 - M_3)/l_{23} + (M_6 - M_3 - M_4)/l_{36} = 9,98 \text{ t.}$$

$$N_{78} = 6 + 9 + (M_3 + M_4 - M_6)/l_{36} + (M_9 - M_6 - M_7)/l_{69} = 17,27 \text{ t.} \\ + 6 \text{ tone pe partea inferioară.}$$

$$N_{9,10} = 9 + (M_6 + M_7 - M_9)/l_{69} = 7,72 \text{ t.}$$

$$N_{12} = -M_2/l_{12} = 0,85 \text{ t.}$$

$$N_{36} = -M_2/l_{12} + (M_5 - M_4)/l_{45} = 1,34 \text{ t.}$$

$$N_{69} = -M_9/l_{9,10} = 0,57 \text{ t.}$$

Ecilibrul nodului 6,7 cere:

$$N_{36} = N_{69} + 6,15/7 + (M_7 - M_8)/l_{87} \text{ care este îndeplinită.}$$

Valoarea negativă a lui α arată că, prin deformare, grinda 2-3-6-9 se deplasează spre *stânga*. Unghiul de rotire al dreptei ce unește nodurile 1 cu 2, va fi în poziția deformată de forma $\alpha/6EI$, unde va trebui ținut seamă că valoarea reală este $\alpha = -110$ și că în ecuații unitățile întrebuițate au fost *tona* și *metrul*.

Privind grupul de relații (14), constatăm că valorile necunoscutele sunt compuse din doi termeni, cel de al doilea fiind funcțiune de coeficientul nedeterminat α . S'a arătat că acest coeficient reprezintă rotirea *liniei nodurilor* 1-2, în starea deformată a cadrului, deci efectul deplasării orizontale a nodurilor cadrului, în urma deformăției.

În cazul când s'ar admite aproximația că nodurile rămân *fixe* ca poziție în plan, înseamnă că linia nodurilor 1-2 rămâne verticală, deci coeficientul nedeterminat α este nul.

În acest caz vom avea evident *alte* valori pentru cantitățile static nedeterminate, care se obțin imediat din relațiile (14) făcând peste tot $\alpha = 0$. Deci primii termeni din aceste relații reprezintă tocmai valorile momentelor în ipoteza aproximativă a nodurilor fixe, iar cei de al doilea termeni corecții provenită din considerarea deformației reale, deci ținând seamă de deplasarea orizontală a nodurilor. Comparația celor două cazuri e dată în tabloul următor:

TABLOU COMPARATIV

al valorilor $M_1 \dots M_9$ pentru noduri deplasabile sau fixe. Valori în tm.

Moment	M_1	M_2	M_3	M_4	M_5	M_6	M_7	M_8	M_9
Noduri deplasabile . . .	-3,38	-3,23	-1,48	+1,86	-10,68	-3,06	+0,63	-2,26	
Noduri fixe	-1,31	-4,65	+0,57	-0,29	-11,30	-0,99	-1,52	-4,38	

Se constată diferențe sensibile între valorile corespunzătoare celor două cazuri. Dacă aproximația nodurilor fixe ar fi fost admisă *dela începutul calculului*, rezolvarea s'ar fi simplificat și mai mult, termenii ultimi ai ecuațiilor — funcțiuni de α — anulându-se, iar relația de legătură $f = 0$ dispărând din calcul.

B. Cadru cu două etaje, dublu încastrat.

Schema cadrului și încărcările exterioare sunt arătate în fig. 17. Pentru stabilirea gradului de nedeterminare, se procedează așa cum s'a arătat în capitolul II. Vom avea:

a) necunoscute:

$$\begin{array}{rcl}
 \text{— bare încastrate} & 6 \text{ a } 6 & \text{necunoscute} = 36 \\
 \text{— rezemări} \dots & 2 \text{ a } 3 & \text{»} = 6 \\
 \hline
 \text{Total} \dots & & 42 \text{ necunoscute}
 \end{array}$$

b) relații statice:

$$\begin{array}{rcl}
 \text{— bare} \dots \dots \dots & 6 \text{ a } 3 & \text{relații} = 18 \\
 \text{— noduri și rezemări} & 6 \text{ a } 3 & \text{»} = 18 \\
 \hline
 \text{Total} \dots \dots & & 36 \text{ relații}
 \end{array}$$

Diferența $42 - 36 = 6$ arată că sistemul e de 6 ori static nedeterminat, deci va fi necesară introducerea a 6 articulații. Se vede imediat că articulațiile vor trebui distribuite câte 3 pentru fiecare etaj, astfel ca și părțile componente ale construcțiunii să fie static determinate. Vom introduce:

- câte o articulație în încastrările 1 și 8,
- câte una în secțiunile 3 și 6 ale stâlpilor 3-4 și 5-6,
- o articulație în nodul 5, iar alta în secțiunea 7 a barei 2-7.

Se constată că rămân în ființă două încastrări: în nodul 4 și în secțiunea 2, între barele 1-2 și 2-7. Înlocuindu-le cu articulații, va fi necesară introducerea barelor suplimentare 1-7 și 3-5, fiecare din ele asigurând nedeformabilitatea statică a unui etaj.

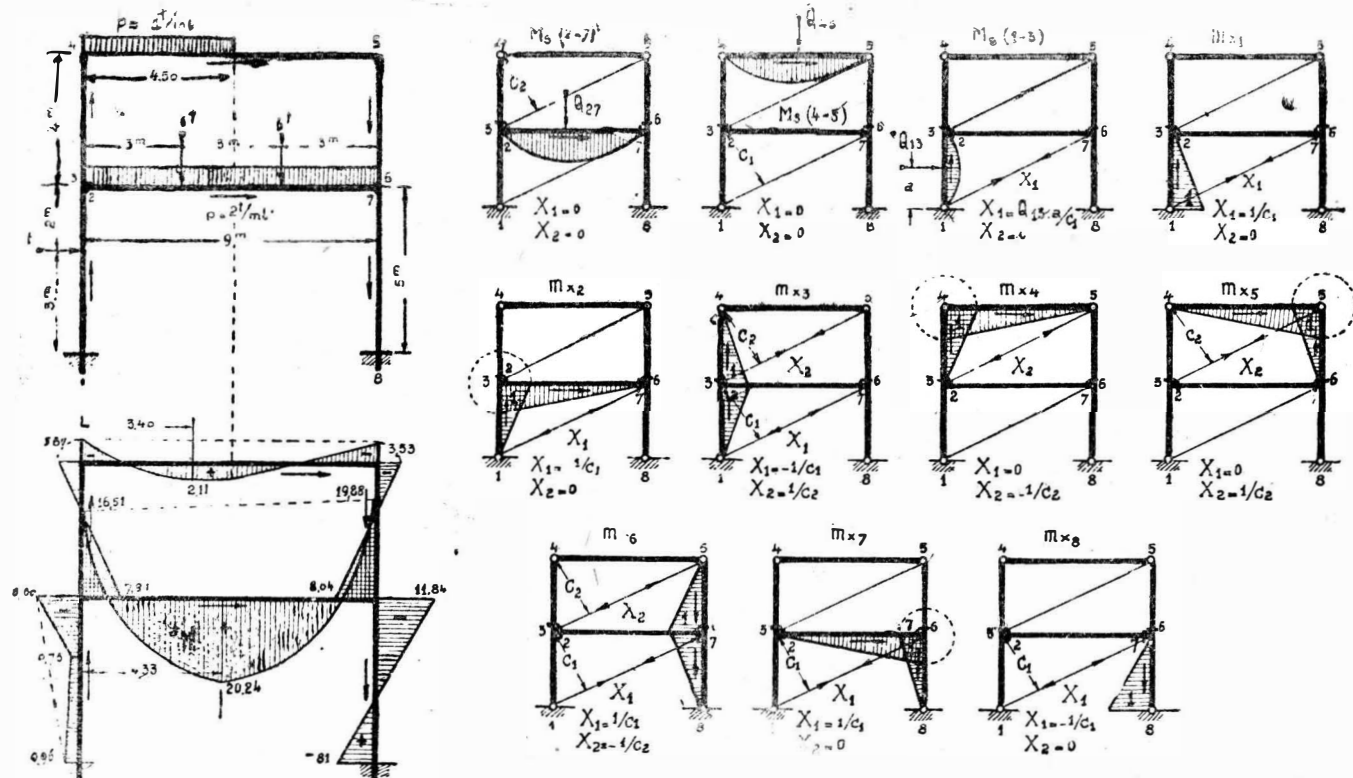


Fig. 17. — Cadru cu două etaje, dublu încastrat.

TABLOU

cuprinzând termenii ecuațiilor de echilibru elastic

		M_1	M_2	M_3	M_4	M_5	M_6	M_7	M_8			
Art.	θ_{ik}	θ_{i1}	θ_{i2}	θ_{i3}	θ_{i4}	θ_{i5}	θ_{i6}	θ_{i7}	θ_{i8}	θ_{is}	$\alpha \cdot \delta f_1 / \delta M_i$	$\beta \cdot \delta f_2 / \delta M_i$
1	θ_{11}	$2\lambda_{11}$	λ_{11}	λ_{11}	—	—	—	—	—	$R_1(1-3)$	$+\alpha$	—
2	θ_{22}	λ_{11}	$2(\lambda_{11} + \lambda_{27})$	$2\lambda_{11}$	—	—	—	λ_{27}	—	$R_2(2-7) + R_3(1-3)$	$-\alpha$	—
3	θ_{33}	λ_{11}	$2\lambda_{11}$	$2(\lambda_{11} + \lambda_{34})$	λ_{34}	—	—	—	—	$R_3(1-3)$	$-\alpha$	$+\beta$
4	θ_{44}	—	—	λ_{34}	$2(\lambda_{34} + \lambda_{45})$	λ_{45}	—	—	—	$R_4(4-5)$	—	$-\beta$
5	θ_{55}	—	—	—	λ_{15}	$2(\lambda_{45} + \lambda_{56})$	λ_{56}	—	—	$R_5(4-5)$	—	$+\beta$
6	θ_{66}	—	—	—	—	λ_{56}	$2(\lambda_{56} + \lambda_{68})$	$2\lambda_{68}$	λ_{68}	—	$+\alpha$	$-\beta$
7	θ_{77}	—	λ_{27}	—	—	—	$2\lambda_{68}$	$2(\lambda_{27} + \lambda_{68})$	λ_{68}	$R_7(2-7)$	$+\alpha$	—
8	θ_{88}	—	—	—	—	—	λ_{68}	λ_{68}	$2\lambda_{68}$	—	$-\alpha$	—

Necunoscutele suplimentare M_2 și M_4 , împreună cu cantitățile static nedeterminate din cele 6 articulații inițiale, vor forma un total de 8 momente necunoscute, ce urmează a fi calculate. Intre ele vor exista două relații de legătură $f_1 = 0$ și $f_2 = 0$, provenind din condiția ca — sub acțiunea tuturor solicitărilor — eforturile din barele suplimentare 1-7 și 3-5 să fie nule. Aceste relații de legătură vor interveni în ecuațiile de echilibru elastic prin intermediul a doi coeficienți nedeterminați α și β .

Ecuațiile de echilibru elastic vor fi de forma:

$$\text{art. 1} \quad \theta_{11}M_1 + \theta_{12}M_2 + \dots + \theta_{18}M_8 + \theta_{1s} + \alpha \cdot \delta f_1 / \delta M_1 + \beta \cdot \delta f_2 / \delta M_1 = 0$$

$$\text{art. 8} \quad \theta_{81}M_1 + \theta_{82}M_2 + \dots + \theta_{88}M_8 + \theta_{8s} + \alpha \cdot \delta f_1 / \delta M_8 + \beta \cdot \delta f_2 / \delta M_8 = 0$$

plus cele două relații de legătură, deci în total 10 ecuații cu 10 necunoscute, cu patru mai mult decât gradul de nedeterminare, corespunzătoare celor două articulații suplimentare.

În fig. 17 sunt date atât curbele de momente, ce apar în sistemul static determinat sub acțiunea încărcărilor oarecare pe barele 1-3, 4-5 și 2-7, cât și diagramele coeficienților de influență m_{xi} , fiecare caz având indicate valorile X_1 și X_2 ale solicitărilor axiale din barele suplimentare. Trasarea acestora se face ținând seamă de cazurile arătate în figurile 12 și 13, cât și de reacțiunile ce dezvoltă una din bare asupra celorlalte, atunci când i se aplică momente în secțiunile dela capete.

Relațiile de legătură se obțin sumând algebric valorile X_1 resp. X_2 , corespunzătoare tuturor diagramelor și multiplicându-le cu c_1 resp. c_2 . Vom avea:

$$(15) \quad \begin{aligned} f_1 &= M_1 - M_2 - M_3 + M_6 + M_7 - M_8 + Q_{13} \cdot \alpha = 0 \\ f_2 &= M_2 - M_4 + M_6 - M_8 = 0. \end{aligned}$$

Se constată că aceste relații sunt identice cu acelea ce s'ar obține aplicând ecuația lucrului mecanic virtual, dând fiecărui etaj o deplasare $\theta_i = 1$. Astfel, pentru etajul inferior vom considera $\theta_1 = 1$, iar pentru cel superior $\theta_3 = 1$, așa cum se vede în fig. 18. Forma dreptunghiulară a ambelor etaje face ca rotirile din toate articulațiile să fie egale, diferind numai semnul, pentru fixarea căruia se ține seamă de convenția de semne admisă pe diferitele bare; astfel vor fi de semne contrare rotirile θ_1 și θ_3 din primul caz, sau θ_3 și θ_8 din al doilea.

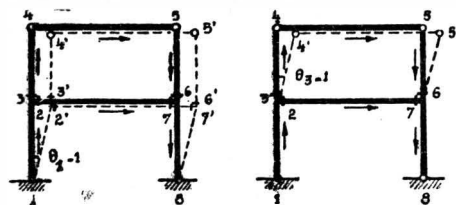


Fig. 18

acest procedeu ar fi economisit scrierea în toate diagramele a valorilor X_1 și X_2 .

Ecuațiile de echilibru elastic se pot constitui imediat, prin citire directă pe diagrame, ținând seamă de expresiile rotirilor θ_{ik} , θ_{is} , cât și de rezultatele tip de integrare.

În tablou sunt dați toți termenii acestor ecuații; din totalul de 64 coeficienți ai necunoscutelor $M_1 \dots M_8$, sunt nuli 36. Repartiția golurilor e de așa natură, încât permite gruparea ecuațiilor, așa cum se va vedea la calculul numeric.

Vom calcula mai întâi toate valorile $M_1 \dots M_8$ funcție de încărcările exterioare și coeficienții nedeterminați α și β ; ducând în relațiile de legătură, vor rezulta și acești coeficienți, deci se vor obține valorile definitive ale cantităților static nedeterminate.

Trecând la cazul numeric indicat în fig. 17, vom admite:

$$n_{13} = n_{68} = 3; \quad n_{34} = n_{56} = 4; \quad n_{45} = 2; \quad n_{27} = 1$$

astfel că valorile $\lambda_{ik} = n_{ik} \cdot l_{ik}$ vor fi:

$$\lambda_{13} = \lambda_{68} = 15 \text{ m}; \quad \lambda_{34} = \lambda_{56} = 16 \text{ m}; \quad \lambda_{45} = 18 \text{ m}; \quad \lambda_{27} = 9 \text{ m}$$

Formăm termenii liberi θ_{is} , ținând seamă de formulele dela pag. 260.

$$R_{1(1-3)} = 6n_{13} \cdot S_{31}/l_{13} = 6 \cdot 3 \cdot 4 \cdot 3 \cdot 2 (5 + 2)/6 \cdot 5 = 101 \text{ tm}^2$$

$$R_{8(1-3)} = 6n_{13} \cdot S_{13}/l_{13} = 6 \cdot 3 \cdot 4 \cdot 3 \cdot 2 (5 + 3)/6 \cdot 5 = 115 \text{ tm}^2$$

$$R_{2(2-7)} = R_{7(2-7)} = 6n_{27} \cdot S_{27}/l_{27} = 6 \cdot 1 \cdot 2 \cdot 9^2/24 + 6 \cdot 1 \cdot 6 \cdot 9^2/9 = 689 \text{ tm}^2$$

$$R_{3(4-5)} = 6n_{45} \cdot S_{54}/l_{45} = 6 \cdot 2 \cdot 3 \cdot 1 \cdot 9^2/16 \cdot 8 = 205 \text{ tm}^2$$

$$R_{5(4-5)} = 6n_{45} \cdot S_{45}/l_{45} = 6 \cdot 2 \cdot 7 \cdot 1 \cdot 9^2/48 \cdot 8 = 159 \text{ tm}^2$$

Ecuatiile 1 și 3 sunt, introducând valorile λ_{ik} și considerând 100α resp. 100β în loc de α și β .

$$30 M_1 + 15 M_2 + 15 M_3 + 101 + 100\alpha = 0$$

$$15 M_1 + 30 M_2 + 62 M_3 + 16 M_4 + 115 - 100\alpha + 100\beta = 0$$

din care obținem:

$$15 M_1 = 32/3 M_3 + 16/3 M_4 - 29 - 100\alpha + 100/3 \beta$$

$$15 M_2 = -109/3 M_3 - 32/3 M_4 - 43 + 100\alpha - 200/3 \beta$$

Ecuatiile 6 și 8 sunt:

$$16 M_5 + 62 M_6 + 30 M_7 + 15 M_8 + 100\alpha - 100\beta = 0$$

$$15 M_6 + 15 M_7 + 30 M_8 - 100\alpha = 0$$

de unde:

$$15 M_7 = -32/3 M_5 - 109/3 M_6 - 100\alpha + 200/3 \beta$$

$$15 M_8 = 16/3 M_5 + 32/3 M_6 + 100\alpha - 100/3 \beta$$

Ecuatiile 4 și 5 sunt:

$$16 M_3 + 68 M_4 + 18 M_5 + 205 - 100\beta = 0$$

$$18 M_4 + 68 M_5 + 16 M_6 + 159 + 100\beta = 0$$

din care:

$$16 M_3 = -68 M_4 - 18 M_5 - 205 + 100\beta$$

$$16 M_6 = -18 M_4 - 68 M_5 - 159 - 100\beta$$

ducând aceste valori în expresiile M_1 , M_2 , M_7 și M_8 se obține:

$$15 M_1 = -40 M_4 - 12 M_5 - 497/3 - 100\alpha + 100\beta$$

$$48 M_2 = 460 M_4 + 130,8 M_5 + 1352 + 320\alpha - 940\beta$$

$$48 M_7 = 130,8 M_4 + 460 M_5 + 1155 - 320\alpha + 940\beta$$

$$15 M_8 = -12 M_4 - 40 M_5 - 106 + 100\alpha - 100\beta$$

Ecuatiile 2 și 7 sunt de forma:

$$15 M_1 + 48 M_2 + 30 M_3 + 9 M_7 + 804 - 100\alpha = 0$$

$$9 M_2 + 30 M_6 + 48 M_7 + 15 M_8 + 689 + 100\alpha = 0$$

care devin, ținând seamă de expresiile diferitelor momente:

$$M_4 + 0,54 M_5 + 5,75 + 0,19 \alpha - 1,50 \beta = 0$$

$$M_4 + 1,85 M_5 + 9,88 - 0,35 \alpha + 2,78 \beta = 0$$

de unde:

$$M_4 = -4,047 - 0,412 \alpha + 3,267 \beta$$

$$M_5 = -3,153 + 0,412 \alpha - 3,267 \beta$$

Ducând aceste valori în expresiile tuturor momentelor, se obține:

$$M_1 = +2,27 - 5,898 \alpha + 0,568 \beta$$

$$M_2 = -19,21 + 3,841 \alpha + 2,824 \beta$$

$$M_3 = +7,93 + 1,287 \alpha - 3,960 \beta$$

$$M_4 = -4,05 - 0,412 \alpha + 3,267 \beta$$

$$M_5 = -3,15 + 0,412 \alpha - 3,267 \beta$$

$$M_6 = +8,02 - 1,287 \alpha + 3,960 \beta$$

$$M_7 = -17,18 - 3,841 \alpha - 2,824 \beta$$

$$M_8 = +4,58 + 5,898 \alpha - 0,568 \beta$$

Relațiile de mai sus arată efectul simetriei cadrului asupra valorilor diferitelor momente. Primul termen e influențat de încărcările exterioare, ceilalți doi reprezentând efectul deplasărilor orizontale ale nodurilor celor două etaje (termenul în α pentru etajul inferior, cel în β pentru etajul superior).

Dat fiind că — în raport cu o axă verticală — secțiunile 1, 2, 3 și 4 sunt simetrice cu 8, 7, 6, 5 și ținând seamă de convenția de semne admisă, rezultă că deplasările orizontale ale nodurilor vor trebui să conducă la apariția de termeni egali și de semn contrar, în valorile momentelor corespunzătoare la 2 secțiuni simetrice, condiție care e îndeplinită în expresiile găsite.

Înlocuind valorile momentelor în relațiile de legătură (15), se ajunge la următoarele ecuații:

$$10 \alpha - 1,545 \beta - 5,356 = 0$$

$$10 \alpha - 42,536 \beta + 2,384 = 0$$

din care se obține:

$$\alpha = +0,565; \quad \beta = +0,189$$

S'a văzut semnificația acestor doi coeficienți nedeterminați; ei reprezintă rotirea *liniei* nodurilor 1-3 resp. 3-4 în poziția deformată a cadrului. Pentru obținerea valorii numerice a acestor rotiri, va trebui ținut seamă că în ecuații am luat 100α resp. 100β în loc de α resp. β , deasemenea că toate ecuațiile au fost înmulțite cu $6EI$; rezultă că valorile acestor rotiri sunt:

$$56,5/6EI \quad \text{și} \quad 18,9/6EI$$

Semnul pozitiv indică deplasarea *spre dreapta* a barelor orizontale 2-7 și 4-5; bine înțeles că, pentru etajul superior, poziția de referință este starea *deformată* a etajului inferior.

Ținând seamă că expresiile momentelor sunt de forma:

$$M_i = A_i + B_i \alpha + C_i \beta$$

se vede imediat că primul termen reprezintă momentul în ipoteza nodurilor fixe, în timp ce ceilalți doi termeni sunt corecțiile ce trebuiesc aduse, datorită considerării deplasării orizontale a nodurilor; termenul $B_i \alpha$ se referă la deplasarea etajului inferior, iar $C_i \beta$ la a celui superior. Această situație permite ca — din expresiile

găsite — să se poată calcula valorile momentelor în diferitele secțiuni unde s'au introdus articulații, atât în cazul real al nodurilor deplasabile, cât și în diferite ipoteze aproximative, neglijând deplasările orizontale ale unuia sau a ambelor etaje.

Tabloul ce urmează dă aceste valori, putându-se trage concluziuni comparative asupra întinderii aproximațiilor în diferite cazuri:

- $\beta = 0$ etajul inferior deplasabil, cel superior fix
- $\alpha = 0$ etajul superior deplasabil, cel inferior fix
- $\alpha = \beta = 0$ cadru cu noduri fixe.

TABLOU

cuprinzând valorile momentelor în diferite ipoteze. Valori în tm.

M_i	A_i	$B_i \cdot \alpha$	$C_i \cdot \beta$	Noduri depl.	$\beta = 0$	$\alpha = 0$	Noduri fixe
M_1	+ 2,27	— 3,332	+ 0,107	— 0,96	— 1,06	+ 2,38	+ 2,27
M_2	— 19,21	+ 2,170	+ 0,534	— 16,51	— 17,04	— 18,68	— 19,21
M_3	+ 7,93	+ 0,727	— 0,748	+ 7,91	+ 8,66	+ 7,18	+ 7,93
M_4	— 4,05	— 0,233	+ 0,617	— 3,67	— 4,28	— 3,43	— 4,05
M_5	— 3,15	+ 0,233	— 0,617	— 3,53	— 2,92	+ 3,77	— 3,15
M_6	+ 8,02	— 0,727	+ 0,748	+ 8,04	+ 7,29	+ 8,77	+ 8,02
M_7	— 17,18	— 2,170	— 0,534	— 19,88	— 19,35	— 17,71	— 17,18
M_8	+ 4,58	+ 3,332	— 0,107	+ 7,81	+ 7,91	+ 4,47	+ 4,58

Cifrele din tablou arată că admiterea aproximației fixității nodurilor etajului superior, nu conduce la diferențe apreciable, dat fiind că în această porțiune nu acționează solicitări exterioare orizontale, iar disimetria încărcărilor verticale este destul de redusă.

Considerarea dela începutul calculului a unei ipoteze aproximative, ar fi adus importante simplificări în rezolvare, prin dispariția unuia sau a ambilor coeficienți nedeterminați, cât și a relațiilor de legătură corespunzătoare.

Pe baza valorilor indicate în tablou, pentru cazul real al nodurilor deplasabile, s'a trasat diagrama definitivă de momente încovoetoare, arătată în fig. 17.

Solicitările axiale în bare sunt:

$$N_{34} = 4,5 \cdot 1,6,75/9 + (M_5 - M_4)/9 = 3,39 \text{ tone}$$

$$N_{66} = 4,5 \cdot 1,2,25/9 + (M_4 - M_5)/9 = 1,11 \text{ ,,}$$

$$N_{12} = N_{34} + 6 + 9 + (M_7 - M_2)/9 = 18,02 \text{ ,,}$$

$$N_{68} = N_{66} + 6 + 9 + (M_2 - M_7)/9 = 16,48 \text{ ,,}$$

$$N_{45} = (M_3 - M_4)/4 = (M_6 - M_5)/4 = 2,89 \text{ ,, compresiune}$$

$$N_{27} = (M_8 - M_7 - M_6)/5 - N_{45} =$$

$$= 4,3/5 + (M_1 - M_2 - M_3)/5 - N_{45} = 1,04 \text{ tone compres.}$$

Am obținut astfel toate elementele necesare pentru dimensionarea cadrului.

C. Cadru cu două deschideri, de înălțimi diferite, triplu încastrat.

Schema cadrului și încărcările sunt arătate în fig. 19.

Stabilirea gradului de nedeterminare:

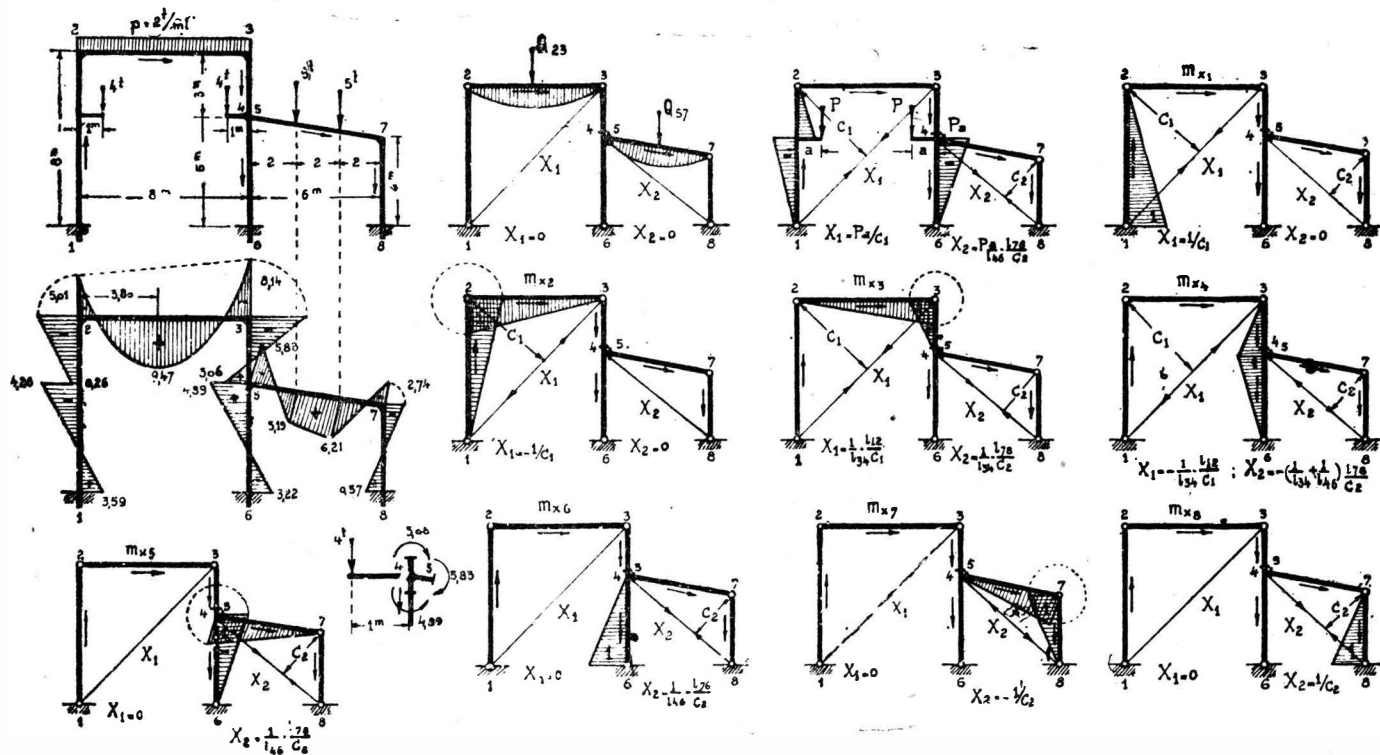


Fig. 19. — Cadru cu două deschideri, de înălțimi diferite, triplu încastrat.

TABLOU

cuprinzând termenii ecuațiilor de echilibru elastic

		M_1	M_2	M_3	M_4	M_5	M_6	M_7	M_8			
Art.	θ_{ik}	θ_{i1}	θ_{i2}	θ_{i3}	θ_{i4}	θ_{i5}	θ_{i6}	θ_{i7}	θ_{i8}	θ_{is}	$\alpha \cdot \delta f_1 / \delta M_i$	$\beta \cdot \delta f_2 / \delta M_i$
1	θ_k	$2\lambda_{12}$	λ_{12}	—	—	—	—	—	—	$R_{1(1-2)}$	α	—
2	θ_{2k}	λ_{12}	$2(\lambda_{12} + \lambda_{23})$	λ_{23}	—	—	—	—	—	$R_{2(1-2)} + R_{2(2-3)}$	$-\alpha$	—
3	θ_{3k}	—	λ_{23}	$2(\lambda_{23} + \lambda_{34})$	λ_{34}	—	—	—	—	$R_{3(2-3)}$	$\alpha \cdot l_{12} / l_{34}$	$\beta \cdot l_{78} / l_{24}$
4	θ_{4k}	—	—	λ_{34}	$2(\lambda_{34} + \lambda_{46})$	$-2\lambda_{46}$	λ_{46}	—	—	$-2Pa \cdot \lambda_{46}$	$-\alpha \cdot l_{12} / l_{34}$	$-\beta \cdot (l_{78} / l_{34} + l_{78} / l_{46})$
5	θ_{5k}	—	—	—	$-2\lambda_{46}$	$2(\lambda_{46} + \lambda_{57})$	$-\lambda_{46}$	λ_{57}	—	$2Pa \cdot \lambda_{46} + R_{5(5-7)}$	—	$\beta \cdot l_{78} / l_{46}$
6	θ_{6k}	—	—	—	λ_{46}	$-\lambda_{46}$	$2\lambda_{46}$	—	—	$-Pa \cdot \lambda_{46}$	—	$\beta \cdot l_{78} / l_{46}$
7	θ_{7k}	—	—	—	—	λ_{57}	—	$2(\lambda_{57} + \lambda_{78})$	λ_{78}	$R_{7(5-7)}$	—	$-\beta$
8	θ_{8k}	—	—	—	—	—	—	λ_{78}	$2\lambda_{78}$	—	—	$+\beta$

Rotirile ce rezultă în diferite articulații, se obțin din cele inițiale prin aplicarea de rapoarte între lungimea barelor 1-2 resp. 7-8 și lungimile barelor din vecinătatea articulației considerate, acestea constituind factorii de propagare ai deplasărilor virtuale.

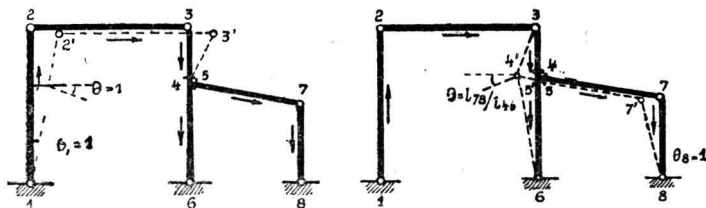


Fig. 20.

Termenii ecuațiilor de echilibru elastic, rezultați din citire pe diagrame, ținând seamă de expresiile rotirilor θ_{1i} , θ_{ik} și θ_{is} , cât și de rezultatele tip de integrare, sunt dați în tablou; din totalul de 64 coeficienți ai necunoscutelor $M_1 \dots M_8$, un număr de 40 sunt nuli, ecuațiile căpătând prin aceasta o formă foarte simplă pentru rezolvare.

Drumul ce vom urma în calcul va fi analog exemplelor precedente.

Trecând la cazul numeric indicat în fig. 19, vom admite:

$$n_{12} = n_{46} = 2 ; n_{34} = n_{78} = 3 ; n_{23} = 1 ; n_{57} = 1,48$$

astfel că valorile $\lambda_{ik} = n_{ik} \cdot l_{ik}$ vor fi:

$$\lambda_{12} = 2.8 = 16 \text{ m} ; \lambda_{23} = 1.8 = 8 \text{ m} ; \lambda_{34} = 3.3 = 9 \text{ m} ; \lambda_{46} = 2.5 = 10 \text{ m}.$$

$$l_{57} = \sqrt{6^2 + 1^2} = 6,08 \text{ m} ; \lambda_{57} = 1,48 \cdot 6,08 \approx 9 \text{ m} ; \lambda_{78} = 3.4 = 12 \text{ m}.$$

Formăm termenii liberi, ținând seamă de formulele dela pag. 260.

$$R_1(1-2) = 6n_{12} \cdot S_{21}/l_{12} = -6.2.4.1(8^2 - 3.3^2)/6.8 = -37 \text{ tm}^2$$

$$R_2(1-2) = 6n_{12} \cdot S_{12}/l_{12} = +6.2.4.1(8^2 - 3.5^2)/6.8 = -11 \text{ tm}^2$$

$$R_2(2-3) = R_3(2-3) = 6n_{23} \cdot S_{23}/l_{23} = 6.1.2.8^3/24 = 256 \text{ tm}^2$$

$$R_5(5-7) = R_7(5-7) = 6n_{57} \cdot S_{57}/l_{57} = 6.1,48.5.6.6,08/9 = 180 \text{ tm}^2$$

$$Pa. \lambda_{46} = 4.1.10 = 40 \text{ tm}^2.$$

Coeficienții lui α și β , din ultimile două coloane ale tabloului, sunt:

$$l_{12}/l_{34} = 8/3 = 2,67 ; l_{78}/l_{34} = 4/3 = 1,34 ; l_{78}/l_{46} = 4/5 = 0,8$$

Ecuațiile 1 și 8 sunt, introducând valorile λ_{ik} și luând 100 α resp. 100 β în loc de α resp. β :

$$32 M_1 + 16 M_2 - 37 + 100 \alpha = 0$$

$$12 M_7 + 24 M_8 + 100 \beta = 0$$

de unde:

$$M_1 = -0,5 M_2 + 1,16 - 3,125 \alpha$$

$$M_8 = -0,5 M_7 - 4,167 \beta.$$

Ecuațiile 2 și 3 devin, ținând seamă de ecuația 1:

$$80 M_2 + 16 M_3 + 527 + 100 \alpha = 0$$

$$8 M_2 + 34 M_3 + 9 M_4 + 256 + 267 \alpha + 134 \beta = 0$$

din care obținem:

$$\begin{aligned} M_2 &= + 0,056 M_4 - 5,35 + 0,336 \alpha + 0,828 \beta \\ M_3 &= - 0,278 M_4 - 6,27 - 7,932 \alpha - 4,136 \beta \end{aligned}$$

Ecuatiile 6 și 7 sunt, ținând seamă de ecuația 8:

$$\begin{aligned} 10 M_4 - 10 M_5 + 20 M_6 & - 40 + 80 \beta = 0 \\ 18 M_5 & + 72 M_7 + 360 - 300 \beta = 0 \end{aligned}$$

de unde:

$$\begin{aligned} M_6 &= - 0,5 M_4 + 0,5 M_5 + 2 - 4 \beta \\ M_7 &= - 0,25 M_5 - 5 + 4,167 \beta \end{aligned}$$

Expresiile momentelor M_1 și M_8 devin:

$$\begin{aligned} M_1 &= - 0,028 M_4 + 3,84 - 3,291 \alpha - 0,414 \beta \\ M_8 &= + 0,125 M_5 + 2,50 - 6,251 \beta \end{aligned}$$

Ecuatiile 4 și 5 sunt:

$$\begin{aligned} 9 M_3 + 38 M_4 - 20 M_5 + 10 M_6 & - 80 - 267 \alpha - 214 \beta = 0 \\ - 20 M_4 + 38 M_5 - 10 M_6 + 9 M_7 + 260 & + 80 \beta = 0 \end{aligned}$$

Introducând expresiile momentelor M_3 , M_6 și M_7 obținem:

$$\begin{aligned} 30,5 M_4 - 15 M_5 - 116,43 - 338,39 \alpha - 291,22 \beta &= 0 \\ 15 M_4 - 30,75 M_5 - 195 &- 157,50 \beta = 0 \end{aligned}$$

de unde:

$$\begin{aligned} M_4 &= + 0,87 + 14,598 \alpha + 9,313 \beta \\ M_5 &= - 5,92 + 7,121 \alpha - 0,579 \beta \end{aligned}$$

Ducând aceste valori în expresiile tuturor momentelor, vom avea:

$$\begin{aligned} M_1 &= + 3,82 - 3,700 \alpha - 0,675 \beta \\ M_2 &= - 5,30 + 1,153 \alpha + 1,350 \beta \\ M_3 &= - 6,51 - 11,990 \alpha - 6,725 \beta \\ M_4 &= + 0,87 + 14,598 \alpha + 9,313 \beta \\ M_5 &= - 5,92 + 7,121 \alpha - 0,579 \beta \\ M_6 &= - 1,40 - 3,739 \alpha - 8,945 \beta \\ M_7 &= - 3,52 - 1,780 \alpha + 4,312 \beta \\ M_8 &= + 1,76 + 0,890 \alpha - 6,323 \beta \end{aligned}$$

Introducând expresiile momentelor în relațiile de legătură (16), obținem următorul sistem de ecuații:

$$\begin{aligned} 100 \alpha + 59,1 \beta + 8,68 &= 0 \\ 100 \alpha + 112,6 \beta + 18,98 &= 0 \end{aligned}$$

care dă soluțiile:

$$\alpha = 0,028 \quad \text{și} \quad \beta = - 0,192$$

Acești doi coeficienți reprezintă rotirile *liniilor* nodurilor 1-2 și 7-8 în poziția deformată a cadrului. Valorile numerice ale acestor rotiri vor fi, observând că în ecuații am considerat 100α resp. 100β în loc de α resp. β :

$$2,8/6EI \quad \text{și} \quad -19,2/6EI$$

Ținând seamă de convenția de semne de pe barele cadrului, cât și de semnele rotirilor, rezultă că deplasarea orizontală a nodurilor va fi *spre dreapta*; cu ajutorul factorilor de propagare, ce figurează în relațiile de legătură (16), se pot determina rotirile față de verticală a liniei nodurilor dela capetele fiecărei bare a cadrului.

Se mai observă că prima rotire e mult mai mică decât cea de a doua, ceea ce înseamnă că deplasările orizontale sunt mai accentuate la porțiunea (etajul) 6-5-7-8.

Așa cum s'a arătat la exemplul precedent, vom calcula comparativ valorile momentelor, atât pentru cazul real al nodurilor deplasabile, cât și pentru ipotezele aproximative:

$$- \alpha = 0 \quad \text{etajul 1-2-3 fix, etajul 6-5-7-8 deplasabil,}$$

$$- \alpha = \beta = 0 \quad \text{cadru cu noduri fixe.}$$

TABLOU

cuprinzând valorile momentelor în diferite ipoteze. Valori în tm.

M_i	A_i	$B_i.\alpha$	$C_i.\beta$	Noduri deplas.	$\alpha=0$	Noduri fixe
M_1	+ 3,82	- 0,104	- 0,130	+ 3,59	+ 3,69	+ 3,82
M_2	- 5,30	+ 0,032	+ 0,259	- 5,01	- 5,04	- 5,30
M_3	- 6,51	- 0,336	- 1,291	- 8,14	- 7,80	- 6,51
M_4	+ 0,87	+ 0,406	+ 1,788	+ 3,06	+ 2,66	+ 0,87
M_5	- 5,92	+ 0,199	- 0,111	- 5,83	- 6,03	- 5,92
M_6	- 1,40	- 0,105	- 1,717	- 3,22	- 3,12	- 1,40
M_7	- 3,52	- 0,050	+ 0,828	- 2,74	- 2,69	- 3,52
M_8	+ 1,76	+ 0,025	- 1,214	+ 0,57	+ 0,55	+ 1,76

Examinarea tabloului arată că, între valorile găsite pentru cazul real al nodurilor deplasabile și cele pentru ipoteza aproximativă a nodurilor fixe, sunt diferențe sensibile în unele secțiuni (3, 4, 6 și 8); ipoteza intermediară — etajul 1-2-3 fix și etajul 6-5-7-8 deplasabil — dă valori foarte apropiate de cazul real.

Admiterea dela începutul calculului a acestei aproximații, ar fi adus simplificări sensibile în rezolvare, prin dispariția din ecuații a tuturor termenilor conținând pe α , cât și a uneia din relațiile de condiție (prima).

Pe baza valorilor indicate în tablou, pentru cazul nodurilor deplasabile, s'a trasat diagrama definitivă de momente încovoetoare, arătată în fig. 19, unde s'a schițat separat și situația diferitelor momente ce apar în jurul nodului 4, 5.

VII. CONCLUZIUNI

Căutând caracteristicile ce rezultă din organizarea de calcul urmărită în paginile acestei lucrări, se pot constata următoarele:

1. Ideia centrală a constat în a da o semnificare unitară tuturor elementelor ce intervin în calcul, introducând și menținând permanent în evidență *deplasările elastice*.

Pentru aceasta s'a luat de bază un sistem static determinat, obținut prin introducerea unui număr convenabil de articulațiuni în cadrul inițial, urmărind apoi, în aceste puncte, rotirile ce intervin între cele două fețe ale secțiunii, sub acțiunea succesivă a încărcărilor exterioare și a cantităților static nedeterminate, devenite și ele tot solicitări exterioare. Condiția de continuitate a barelor și de indeformabilitate a unghiurilor cadrului, a condus la stabilirea sistemului de ecuații, prin egalarea cu zero a rotirilor rezultante.

Acest procedeu are avantajul că materializează oarecum calculul, fiind în special adresat cititorului debutant în materie de sisteme nedeterminate, pentru care de multe ori acest domeniu pare cam abstract la prima vedere.

2. Constatarea că toți coeficienții cantităților static nedeterminate, din sistemul de ecuații de echilibru elastic al cadrului, sunt rotiri de forma θ_{ik} , a condus la căutarea unei posibilități cât mai ușoare și mai rapide pentru evaluarea acestora.

3. Expresiunile simple ce aceste deplasări pot căpăta, prin aplicarea teoremei *Castigliano* și a principiului lucrului mecanic minimal, au impus așezarea pe primul plan a *coeficienților de influență*, a căror diagrame pot fi trasate cu ușurință, dat fiind că e vorba de un sistem static determinat, acționat în toate cazurile de către o singură solicitare.

4. Faptul că, la cadrele cu bare drepte, formele diagramelor coeficienților de influență de pe oricare bară se reduc la câteva cazuri tip, a permis să se obțină direct valorile θ_{ik} , dat fiind că acestea nu sunt altceva decât integralele în lungul barelor a produselor coeficienților de influență, luați doi câte doi.

Se ajunge astfel la exprimarea tuturor rotirilor θ_{ik} în funcție de elementele caracteristice ale barelor: $\lambda_{ik} = l_{ik} \cdot I/I_{ik}$.

Procedul este foarte avantajos, prin simpla privire a diagramelor coeficienților de influență putând să se scrie *direct* toți coeficienții cantităților static nedeterminate din sistemul de ecuații.

5. Termenii liberi ai ecuațiilor fiind de forma θ_{is} , deci având o perfectă analogie cu celelalte rotiri, se pot scrie tot atât de repede, privind diagramele coeficienților de influență și cele ale suprafețelor de momente, date de încărcările exterioare în barele sistemului static determinat.

Rezultă de aci un alt avantaj. Pentru o aceeași ipoteză de încărcare, putem considera sarcinile exterioare fie succesiv, fie concomitent — după voință — fără a aduce prin aceasta vreo complicație sistemului de ecuații, dat fiind că în al doilea caz termenii liberi vor fi sumele algebrice ale rotirilor parțiale, deci rotirile θ_{is} ce se produc sub acțiunea concomitentă a încărcărilor, citirea lor pe diagrame fiind imediată.

6. Structura sistemului de ecuații arată că toți coeficienții necunoscuti telor depind numai de forma, dimensiunile și rezemările cadrului, căși de modul cum a fost făcut static determinat. Odată constituită, această parte a ecuațiilor rămâne aceeași pentru orice fel de încărcări, modificându-se numai termenii liberi.

7. Pe baza sistemului de ecuații, format pentru un cadru și niște încărcări date, se pot studia și toate cadrele provenite din acesta, prin modificarea naturii rezemărilor (articulații în loc de încastrări). Pentru fiecare articulație i ce ar înlocui o încastrare, se anulează rândul și coloana i din tabloul coeficienților necunoscutelor, obținându-se deci imediat sistemul de ecuații corespunzător. Aceasta permite să se studieze comparativ influența naturii uneia sau a mai multora din rezemări, asupra diagramei finale de momente încovoetoare din cadrul considerat.

8. Trecând la rezolvarea sistemului de ecuații obținut, s'a văzut că în toate cazurile este posibil să ne aranjăm astfel, încât să apară numeroase *goluri* în tabloul coeficienților necunoscutelor, ceea ce elimină *totdeauna* nevoia de a rezolva un sistem de ecuații egal cu gradul de nedeterminare. Combinând și grupând ecuațiile, putem reduce chestiunea la rezolvarea de sisteme reduse.

Se remarcă totodată că natura rezemărilor cadrului (încastrări sau articulații) nu influențează asupra numărului de ecuații din sistemul final ce trebuie rezolvat; articulațiile introduse în rezemări dau în general ecuații ce conțin numai două necunoscute, ce permit eliminarea din restul sistemului a momentelor M_i , corespunzătoare acestor rezemări, aducând prin aceasta corecțiunile impuse de prezența încastrărilor în reazeme.

9. În cazul cadrelor cu noduri deplasabile, avem două posibilități: procedând după linia generală de calcul, văzută la sistemele cu noduri fixe, sau introducând necunoscute suplimentare, prin suprimarea încastrărilor ce asigură nedeformabilitatea statică a sistemului de bază, apărând cu această ocazie relațiile de legătură între necunoscute.

În primul caz, sistemul inițial de ecuații e mai complicat, trebuind efectuată în prealabil operația combinării ecuațiilor, pe baza indicațiilor ce ne dau diagramele coeficienților de influență, spre a se ajunge la sistemul simplificat, ce permite o ușoară rezolvare.

În al doilea caz, sistemul de ecuații are dela început o structură foarte simplă, cu mai multe goluri, dar sunt necesare în plus, pentru fiecare încastrare suprimată, o necunoscută suplimentară și un coeficient nedeterminat, împreună cu ecuațiile corespunzătoare.

Primul procedeu e indicat pentru cadre cu grad de nedeterminare mai redus, sau cu mai multe etaje; al doilea pentru cadre multiplu static nedeterminate, dat fiind că creșterea numărului ecuațiilor suplimentare este foarte redusă, *ea neavând legătură cu gradul de nedeterminare*, ci numai cu numărul etajelor.

Vom înțelege în general prin *etaje*, diferite porțiuni de cadru ce pot fi antrenate prin câte o deplasare virtuală. Deci numărul etajelor va fi dat de numărul deplasărilor virtuale *diferite* posibile. El este în același timp egal cu numărul încastrărilor ce trebuiesc menținute — în rezemări sau în interiorul construcției — pentru a asigura nedeformabilitatea statică a sistemului static determinat de bază. Aceste două aspecte sunt de fapt unul și același lucru, deoarece — pentru fiecare asemenea încastrare menținută — este posibilă o deplasare virtuală a unei porțiuni din cadru.

10. Coeficienții nedeterminați ce intervin, au o semnificare ce-i încadrează în ideea generală a organizării de calcul prezentate, ei fiind tot deplasări elastice, reprezentând rotirea *liniei nodurilor* dela capetele barei ce antrenează fiecare din deplasările virtuale, ce se pot da diferitelor porțiuni de cadru, aceste deplasări fiind chiar rotirile reale ce se produc în starea deformată a construcțiunii. Se pot calcula astfel toate deplasările orizontale ale nodurilor cadrului, sub acțiunea încărcărilor exterioare, în ipoteza de dimensionare admisă inițial.

11. Grupând, în cuprinsul termenului liber al fiecărei ecuații, atât termenii proveniți dela încărcările exterioare (θ_{is}), cât și cei ce conțin coeficienții nedeterminați, vom obține — prin rezolvarea sistemului — expresiile momentelor necunoscute sub forma: $M_i = A_i + B_i \cdot \alpha + C_i \cdot \beta + \dots$ unde A_i este valoarea momentului pentru ipoteza nodurilor fixe, iar $B_i \cdot \alpha$, $C_i \cdot \beta$, ... reprezintă corecțiunile ce provin dela considerarea deplasării orizontale a nodurilor la diferitele etaje.

Calculând coeficienții nedeterminați α , β , ... cu ajutorul relațiilor de legătură, putem obține în paralel valorile numerice ale tuturor momentelor, atât pentru cazul real al nodurilor deplasabile, cât și pentru diferite ipoteze aproximative, considerând fixitatea tuturor sau numai a unora din etaje, putând face astfel comparații utile asupra întinderii acestor aproximații.

Admiterea dela început a unei ipoteze aproximative, conduce la anularea în ecuații a termenilor corespunzători unora sau tuturor coeficienților nedeterminați, dispărând totodată și relațiile de legătură respective; prin aceasta rezolvarea sistemului de ecuații este considerabil simplificată.

12. Comparată cu metoda *Prof. Gh. Em. Filipescu*, cu care capătă o oarecare apropiere ca aspect prin introducerea coeficienților nedeterminați, organizarea de calcul ce propunem se caracterizează prin un număr *foarte redus* de necunoscute și ecuații suplimentare, acest număr *nedepinzând de gradul de nedeterminare*, ci numai de numărul etajelor construcțiunii; cu cât gradul de nedeterminare al etajelor crește, cu atât importanța numărului ecuațiilor suplimentare, în raport cu numărul normal de ecuații de echilibru elastic, se atenuază.

În metoda *Filipescu*, apar în plus câte două ecuații suplimentare pentru fiecare nod unde se întâlnesc mai mult de două bare, această creștere a numărului ecuațiilor fiind deci *în directă legătură cu gradul de nedeterminare* al construcțiunii.

Față de caracteristicile arătate, credem că organizarea de calcul, ce am folosit în paginile acestei lucrări, corespunde scopului ce ne-am propus, de a da calculului cadrelor cu bare drepte un aspect sugestiv și o linie de rezolvare rapidă și simplă de urmărit, permițând în special cititorului începător în studiul sistemelor static nedeterminate, să se familiarizeze cu acest domeniu și să aibă la dispoziție o normă de calcul ușor de stăpânit, în cazul când o va găsi preferabilă față de diferitele metode cunoscute.

R É S U M É

Le présent travail se propose d'exposer une méthode simple et suggestive pour le calcul des cadres, tout particulièrement des cadres à barres droites, qui évite le coté trop abstrait de l'étude habituelle des systèmes hyperstatiques, afin que cette méthode soit facile à saisir et aisément abordable pour tous les intéressés.

En essence on s'est préoccupé dans ce but de trouver:

a) Une représentation très claire pour les éléments qui interviennent dans la résolution des cadres, en leur donnant des interprétations suggestives, afin que le lecteur puisse aisément suivre la marche des calculs.

b) Une disposition très simple des calculs proprement dits, laquelle — dans le cas particulier des cadres à barres droites — supprime les intégrations de la méthode classique, car elle déduit les équations d'équilibre élastique de l'inspection de diagrammes parlant clairement aux yeux.

On a réussi ainsi à établir une solution rapide du problème des cadres, bornée à l'utilisation de quelques diagrammes, sur lesquels on peut lire tout simplement les équations élastiques de la construction considérée. Du même coup on obtient un système d'équations d'une structure favorable, conduisant toujours à un système final très réduit, par voie d'élimination de la plupart des inconnues.

L'idée dominante de cette étude a été de donner une interprétation uniforme à tous les éléments qui interviennent dans le calcul, en introduisant et maintenant constamment en évidence les déplacements élastiques, sous leur forme la plus simple, celle des rotations relatives entre les deux faces d'une même section des barres, sous l'effet des sollicitations extérieures, lorsqu'on suppose en ce point une articulation.

Dans tous les cas, le point de départ est un système statiquement déterminé, déduit du système donné par l'introduction d'un nombre convenable d'articulations et l'étude porte sur les rotations mentionnées quand on considère les effets successifs des charges extérieures ainsi que des inconnues hyperstatiques qui, elles aussi, dans les hypothèses faites, jouent le rôle de sollicitations extérieures. Ce procédé a l'avantage de matérialiser en quelque sorte le calcul, qu'on peut donc suivre sans effort. D'autre part, on a montré que ces rotations sont précisément les coefficients des inconnues du système d'équations élastiques.

A l'aide du théorème de Castigliano et du principe du travail minimum on a pu exprimer ces rotations en fonction des *coefficients d'influence*, qui représentent les moments fléchissants dans les différentes sections du système statique, dus à l'application successive d'un moment égal à l'unité sur les deux faces de chacune des sections où on a introduit des articulations dans le système initial.

Les diagrammes des coefficients d'influence peuvent se tracer rapidement, car il s'agit chaque fois d'une sollicitation unique appliquée au système statiquement déterminé. C'est l'emploi de ces diagrammes qui donne son cachet spécifique à la méthode proposée.

Par le moyen des expressions trouvées pour les rotations élémentaires et des diagrammes des coefficients d'influence, on a réussi à éliminer toutes les intégrations, en établissant des formules très peu nombreuses et d'une grande simplicité, qui permettent la *lecture directe* des rotations sur les diagrammes.

Les termes libres des équations sont en parfaite similitude avec les coefficients des inconnues, car ils représentent des rotations analogues, qui peuvent se déterminer par les mêmes moyens, c'est-à-dire par les diagrammes des coefficients d'influence et les courbes des moments fléchissants du système statique sous l'action des charges extérieures.

D'une façon générale il n'y a dans la méthode exposée aucune différence entre les cadres à noeuds fixes et ceux dont les noeuds peuvent subir des déplacements de translation, les deux catégories pouvant être traitées de la même manière, car les déplacements horizontaux des noeuds n'apparaissent pas directement dans les calculs; toutefois ces déplacements — quand ils peuvent exister — influent sur les diagrammes utilisés en les compliquant, ce qui conduit à des systèmes d'équations eux aussi plus compliqués, d'où la nécessité d'une opération supplémentaire — tou-

jours évidenciée sur les diagrammes — pour l'établissement d'équations finales de facile résolution.

On a donné une attention toute particulière à ce cas, et on a réussi à trouver — pour les cadres à noeuds déplaçables — une façon d'opérer aboutissant directement à des systèmes d'équations d'une structure tout aussi simple que pour les cadres à noeuds fixes. Le procédé employé nécessite l'introduction d'un nombre très restreint d'inconnues supplémentaires, avec un nombre correspondant de relations de liaison, qui influent les équations élastiques par l'intermédiaire de coefficients indéterminés, dont la signification s'encadre dans le principe général de la méthode proposée, car ce sont encore des déplacements élastiques, mais cette fois mettant en évidence les déplacements horizontaux des noeuds.

On doit souligner que le nombre d'inconnues supplémentaires introduit de cette manière, *n'est pas en fonction du degré d'indétermination statique du cadre*, mais du nombre d'étages de la construction, *étages* signifiant les différentes parties du cadre qui peuvent être entraînées par des déplacements virtuels distincts possibles. L'augmentation du nombre des équations est ainsi très réduite; les systèmes d'équations que l'on obtient se prêtent à une résolution expéditive. Les exemples numériques, traités pour faire ressortir les caractéristiques de la méthode, montrent que pour des cadres six ou sept fois indéterminés il a été nécessaire de résoudre des systèmes contenant au plus trois équations à trois inconnues, ce qui représente un avantage appréciable.

A l'usage la méthode montre encore d'autres avantages caractéristiques, dont deux des plus intéressants sont les suivants:

— Le système d'équations établi pour un cadre et un ensemble de charges extérieures données, permet d'étudier parallèlement tous les cadres qui en dérivent par modification de la nature des appuis (encastremements remplacés par des articulations); il suffit d'annuler certains termes dont le choix est immédiat à l'aide des diagrammes établis. On a ainsi la possibilité de faire un examen comparatif de l'effet sur le diagramme des moments fléchissants de la nature d'un ou de plusieurs appuis.

— En second lieu: pour les cadres à noeuds déplaçables il suffit de conduire les calculs d'une certaine manière, de façon à maintenir en évidence les déplacements horizontaux des noeuds, pour obtenir en plus de la solution exacte et sans nouveaux calculs, les moments fléchissants du cadre pour une série d'hypothèses d'approximation, comportant la fixité d'un ou de plusieurs étages et par conséquence une comparaison entre les diverses hypothèses d'approximation faites et la solution exacte du problème.

On peut à volonté recourir dès le début à des approximations de cette nature, en annulant tout simplement certains termes des équations et simplifier encore davantage la résolution.